

Sbor. geol. věd	Geologie 40	Str. 63–99	10 obr.	10 tab.	— příl.	Praha 1985 ISSN 0581-9172
--------------------	----------------	---------------	------------	------------	------------	------------------------------

Srovnání jaderných jednotek východního a západního křídla orlicko-kladské klenby

Vergleich der Kerneinheiten des östl. und westl. Flügels der Orlické hory -Kłodzko -Kuppel

Jaroslav Kočandrle¹ · Mojmír Opletal²

Předloženo 25. října 1983

Kočandrle J. - Opletal M. (1985): Srovnání jaderných jednotek východního a západního křídla orlicko-kladské klenby. — Sbor. geol. Věd, Geol., 40, 63–99. Praha.

Výtažek: V širším okolí Králik vystupují tři tektonické jednotky krystalinika v. křídla orlicko-kladské klenby: antiklinorium Klapáče, synklinorium Moravy a antiklinorium Sušiny. Antiklinoria jsou převážně budována polygenetickými horninami ortorulového až migmatitového vzhledu. Tři texturně odlišné skupiny hornin: zrnité až zrnito-šupinaté ruly, zrnito-plástevné až plástevné ruly a okaté ruly se od sebe liší geologickou pozici, nikoliv však petrochemicky. V synklinoriu Moravy s. od Králik je zastoupen převážně svrchní vulkanicko-sedimentární oddíl stroňské skupiny, zatímco spodní monotoní oddíl je silně redukován. Přechod mezi oběma oddíly je na rozdíl od Orlických hor značně povlovnější. Tektonický vývoj území, stratigrafický obsah a petrochemický obraz je v obou křídlech orlicko-kladské klenby generelně shodný.

¹ Geologický průzkum, n. p., závod Zlaté Hory, 793 76 Zlaté Hory

² Ústřední ústav geologický, Malostranské nám. 19, 118 21 Praha 1

Úvod

V roce 1967 bylo zahájeno geologické mapování Orlických hor do map 1 : 10 000 a 1 : 25 000 v rámci úkolu Ústředního ústavu geologického v Praze. Výsledky mapovacích, petrografických a petrochemických prací, prováděných v této oblasti M. Opletalem a K. Domečkou, byly průběžně publikovány — v této oblasti M. Opletalem a K. Domečkou (1974, 1976, 1977, 1980), Opletal a Domečka (1976, 1983) a Opletal et al. (1980).

Aby bylo možno srovnat geologickou stavbu a horninové komplexy Orlických hor s v. křídlem orlicko-kladské klenby, bylo zahájeno v roce 1974 mapování s. okolí Králik. Toto mapování prováděl v měřítku 1 : 10 000 J. Kočandrle. Celková plocha pokrytá geologickým mapováním je 98 km². Kritéria pro rozlišení jednotlivých horninových typů byla převzata z oblasti Orlických hor. Zá-

věry geologického mapování byly vyjádřeny jednak v geologických mapách, jednak ve zprávě (Kočandrle 1983), které byly odevzdány dodavatelem (Geologický průzkum, n. p., Ostrava, závod Zlaté Hory) odběrateli (Ústřední ústav geologický v Praze). Ve spolupráci obou autorů zprávy bylo provedeno shrnutí geologického mapování, petrografických a petrochemických výzkumů ze s. okolí Králík, jakož i srovnání s obdobnými horninovými komplexy z křídla orlicko-kladské klenby Orlických hor, a výsledkem je tato publikace.

Zmapované území naleží ke krystaliniku sv. části Českého masívu, nazývanému jako západosudetská soustava nebo lugikum. V podrobnějším členění je pak součástí v. křídla orlicko-kladské klenby. V současné době převažují názory, že základní rysy tohoto složitého komplexu proterozoických hornin byly dány kadomským vrásněním, avšak na formování se podílejí i kaledonská a variská tektogeneze. Výsledný tvar pohoří, zvláště z hlediska orografického, dalo saxonské vrásnění, při kterém dochází k obnovení nebo tvorbě četných zlomů; jejich důsledkem byl mj. i vznik kladského prolomu, kdy křídové sedimenty poklesly nejméně o 800 m.

Hlavní strukturní jednotkou v mapovaném území je stroňská skupina (podle Chaloupkého 1978 odpovídá moldanubienu, tj. střednímu proterozoiku), kterou pronikají horniny ortorulového až migmatitového vzhledu. Při v. okraji území byly zastiženy svory a amfibolity staroměstské skupiny.

Křídové sedimenty na okraji mapovaného území jsou zastoupeny vápnitými jílovcemi, místy s hrubě klastickou příměsí, a v okolí Prostřední Lipky obsahují polohy drobozrnných glaukonitických pískovců. Omezení křídy proti krystaliniku je převážně tektonické, v některých částech nelze vyloučit transgresivní styk.

V okolí Horní Lipky a Velké Moravy jsou terciérní sedimenty reprezentovány písčitými jíly až jílovitými štěrkami. Tyto neogenní sedimenty zde dosahují mocnosti nad 25 m, jak ukázal mapovací vrt s. od Králík.

Z orografického hlediska patří mapované území skupině Králického Sněžníku a Jeřábí vrchovině (Balatka et al. 1973). Území je značně členité, nejnižší bod je u Prostřední Lipky (555 m n. m.), nejvyšší kótou je Podbělka (1307 m).

Území v okolí Králického Sněžníku, včetně námi popisovaného úseku, patří ke klasickým areálům, o něž se opírala řada starších autorů, formujících své základní představy o stavbě, stratigrafii a metamorfóze této části Českého masívu. Patří sem Süss (1912) se svojí klasickou prací a předpokladem příkrovového nasunutí moldanubika (1926 lugika) na silezikum, jakož i jeho pokračovatelé Kölbel (1929), Fischer (1935a,b) a Wilschowitz (1939), stejně jako Bederke (mj. 1925, 1929), Zapletal (1932, 1947 aj.), Kodyma-Svoboda (1949) a Paunk (1953, 1979 aj.). Na polské straně pohoří pak po válce formulují své představy o kaledonské stavbě Sudet a jejich prepracování Teisseyre (1956, 1957, 1975 aj.), Smulikowski (1957,

1960 aj.), později Dom (1964, 1975) či Dumic (1964, 1976). Část názorů uvedených autorů je uváděna a diskutována v následujícím textu.

Stratigrafie a litologie vymezených jednotek

V této kapitole popisujeme především stroňskou skupinu a komplex hornin ortorulového vzhledu, o ostatních vymezených jednotkách krystalinika (žilné magmatické horniny, hadec a horniny staroměstské skupiny) se zmíňujeme jen okrajově; podrobnější popisy jsou v práci Kočandrlová (1983).

Z oblasti Rychlebských hor, Králického Sněžníku a Orlických hor popisují Němec (mj. 1956, 1966), Pauk (1958) a Opletal et al. (1980) lamprofyry a podobné horniny. Jediná zastižená žila je tvořena křemennou minetou (jerseyitem) a má mocnost 15–20 m při směrné délce přes 50 m.

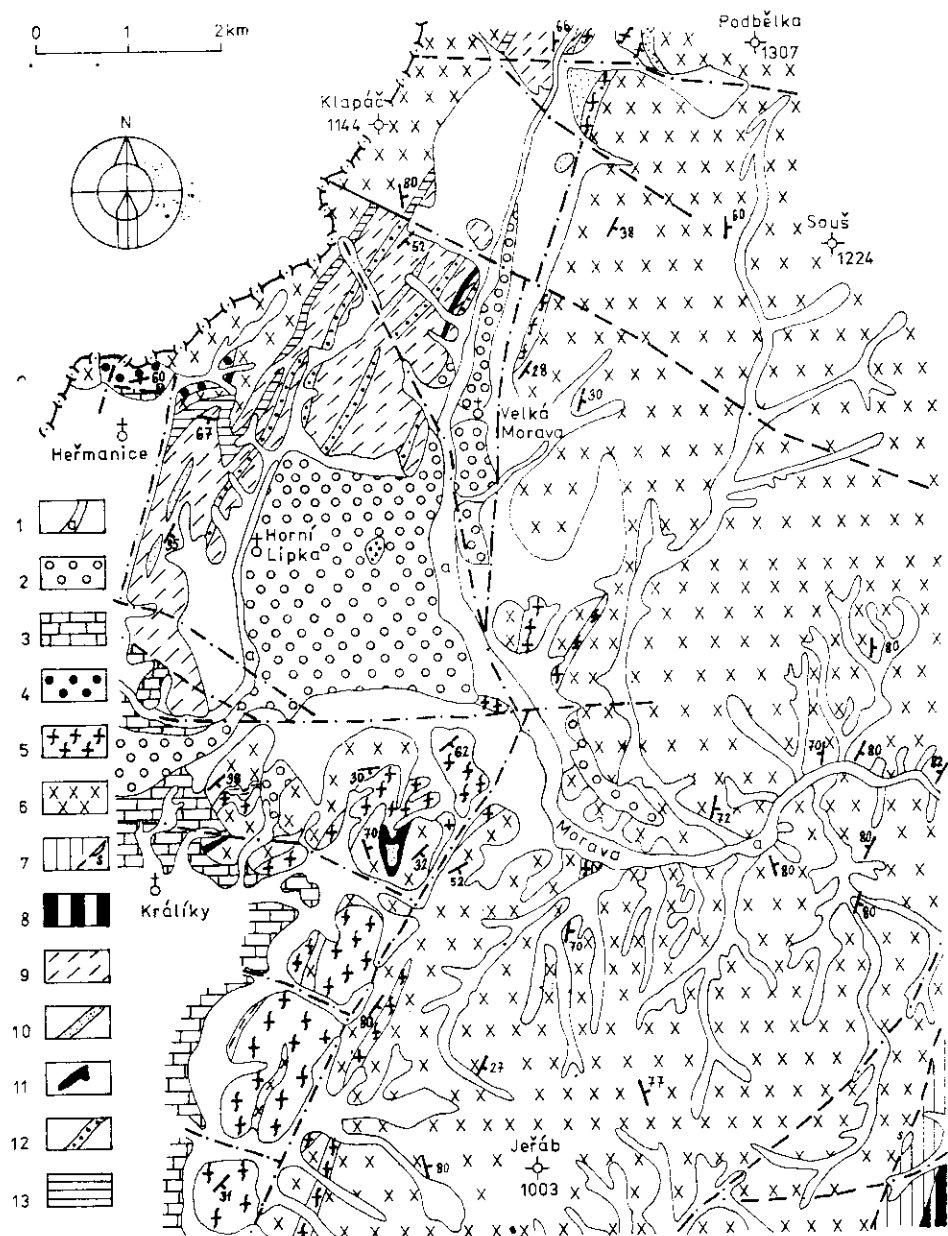
Okrajově mapovaná staroměstská skupina je tvořena muskovitickými až dvojslídny svory o nepravé mocnosti 500 m a amfibolity. Na styku svorů staroměstské skupiny a „ortorul“ antiklinoria Sušiny bylo nalezeno nové hadcové těleso o předpokládaných rozměrech 150 · 50 m, které může indikovat tektonický styk obou jednotek. Celistvý až slabě usměrněný hadec je tvořen převažujícím serpentinem, zastoupeným hlavně seprofitem.

Stroňská skupina tvoří v mapovaném území jeden pruh, široký max. 2 km, nazvaný synklinoriem Moravy. Přechází na naše území z Polska v oblasti Králického Sněžníku, odkud pokračuje jjz. směrem až k Prostřední Lipe, kde končí na tektonické linii směru V–Z. Jižněji (s. a v. od Králkova) jsou zachovány malé relikty stroňské skupiny v zrnito-plástevných rulách; část těchto poloh však v měřítku mapy (na obr. 1) nelze vyjádřit.

Stroňskou skupinu (Seitenberger serie — Fischer 1935a) řadíme v souladu s rozdelením Chaloupského (1975, 1978 aj.) do středního proterozoika, i když se v poslední době objevily nepříliš průkazné názory na její paleozoické stáří (Günia 1976, Harazim et al. 1981). Naproti tomu geochronologické údaje Van Breemen et al. (1982) podporují názor o kadomském stáří „ortorul“ orlicko-kladské klenby, a tím i stroňské skupiny. Opletal (1973), Domečka a Opletal (1977) a Opletal et al. (1980) vydělili ve stroňské skupině dva stratigrafické oddíly. Toto rozdělení se ukázalo platné i pro v. část orlicko-kladské klenby s tím rozdílem, že spodní oddíl je zde silně redukován a přechod mezi oběma oddíly je povlovnější.

V mapovaném území je nejspodnějším zastiženým typem muskovit-biotitická až dvojslídna rula, která má místa vzhled perlínových rul. Je plástevná, jemně až drobně zrnitá a má lepidogranoblasticou strukturu. Minerální složení (viz též tab. 1.): křemen, plagioklas, K-zivec, muskovit, biotit, ± chlorit, ± grafait, zirkon, ± apatit, ± turmalín, rudní minerály. Petrografické popisy a planimetrické ana-

lýzy jednotlivých hornin provedla E. Mikušová v petrografické laboratoři Geologického průzkumu, n. p., Ostrava.



1. Přehledná geologická mapa širšího okolí Králick. Upraveno podle geologických map 1 : 25 000 — J. Kočandrle (1983). Originál

V nadloží paruň, ještě ve spodním oddílu, leží biotit-muskovitické až dvojslídne svory šedé barvy, plošně paralelní až plástevné textury, jemně až drobně zrnité, s minerální asociací: křemen, muskovit, biotit, živec, \pm chlorit, \pm granát, \pm granát, \pm apatit, zirkon, \pm titanit a rudní minerály.

Svrchní oddíl stroňské skupiny je stejně jako v Orlických horách tvořen vulkanicko-sedimentárním souvrstvím. Převažujícím horninovým typem jsou biotit-muskovitické až dvojslídne a granát-biotit-muskovitické albitické svory až ruly. Mají výraznou plošně paralelní texturu, jsou jemně až drobně zrnité, světle šedé, místy se zeleným nádechem. Struktura je většinou porfyroblastická, s granolepidoblastickou až lepidoblastickou základní tkání. Minerální složení: křemen, muskovit, biotit, albit, K-živec, \pm chlorit, \pm karbonát, \pm granát, \pm staurolit, \pm turmalín, \pm apatit, \pm zirkon, \pm titanit, \pm epidot, \pm grafit, \pm rudní minerály. Obsah živeč, převážně albitu, je proměnlivý; čisté svory přecházejí přibýváním albitu a K-živec do albitických svorů až rul, které však mají výrazný svorový habitus. Dominujícím slídovým minerálem je muskovit, někdy prorostlý chloritem. Vrostlice granátu jsou zpravidla intenzívne rozpuškané a místy proměněné na chlorit, muskovit a limonit, někdy uzavírají křemen a biotit.

Přibýváním křemene plynule přecházejí svory do kvareitů a živecových kvarcitů, které tvoří polohy a čočky ve spodní části vrchního oddílu stroňské skupiny. Minerální složení (viz též tab. 2): křemen, živec (K-živec $>$ albit), muskovit, \pm biotit, \pm chlorit, \pm karbonát, \pm granát, \pm staurolit, \pm akcesorie: apatit, zirkon, titanit, minerály epidotové skupiny, \pm grafit, \pm rudní minerály. Již z uvedené minerální asociace vyplývá nejednotnost kvareitů, z nichž část je sedimentárního původu a část (s vyšším obsahem živeč) velmi pravděpodobně zastupuje kyselé vulkanické horniny (porphyroidy), popsané z obdobné stratigrafické pozice v Orlických horách. Kwareity jsou světle šedé až krémové, výrazně plošně paralelní, s texturou šupinatou až plástevnou a o struktuře granoblastické až lepidogranoblastické. U živecových kvareitů tvoří živece zrna až 2 mm velká, čočky a proužky většinou shodné s foliací; struktura těchto hornin je blastoporfyrická s lepidogranoblastickou základní tkání. Na druhé straně přecházejí kvareity přibýváním grafitu do grafitických kvareitů a přibýváním slíd do grafitických svorů. Horniny s vyšším obsahem grafitu jsou u Prostřední Lípy a nad Velkou Moravou.

Amfibolity tvoří nehojně, x metrů až několik desítek metrů močené polohy

1 — svahové hliny a sutě+plashy; 1a — aluviální sedimenty niv; 2 — neogenní sedimenty; 3 — krídové sedimenty stratigraficky nerozlišené; 4—6 — „ortoruly“ jádra orlicko-kladské klenby: 4 — okaté ruly, 5 — zrnité až zrnito-šupinaté ruly, 6 — zrnito-plástevné až plástevné ruly; 7—8 — staroměstská skupina: 7 — svory, na hraniči čočka serpentinitu (s), 8 — amfibolity; 9—13 — stroňská skupina: 9 — svory až albitické svory s vložkami kvareitů, živecových kvarcitů, amfibolitu a erlanu, které nelze v měřítku mapy vyjádřit (všechny horniny patří vrchnímu oddílu), 10 — eriany a vápence, 11 — amfibolity, 12 — kvareity až živecové kvarcity, 13 — ruly až svory spodního oddílu

T a b u l k a 1
Modální složení rul a svorů strojnské skupiny

	1	2	3	4	5	7	8	9	10	11	12
křemen	40,1	46,6	37,2	30,5	42,4	30,8	31,4	33,4	35,4	34,2	32,2
živce	23,6	43,4	3,4	14,4	4,2	9,5	19,4	17,8	48,2	2,2	+
muskovit	45,2	13,9	45,4	25,4	33,5	24,2	23,9	22,2	22,3	35,4	30,4
biotit	20,4	21,8	13,8	18,2	17,8	32,3	48,2	24,3	43,2	16,2	12,6
chlorit	—	2,0	—	—	—	—	—	—	—	—	—
grarát	—	0,9	—	—	3,4	0,6	1,6	4,9	—	7,8	7,0
staurolit	—	—	—	—	—	—	4,4	—	3,4	3,9	4,2
turnalín	—	—	—	—	—	—	0,8	—	—	0,2	0,3
apatit	+	0,5	—	0,4	—	—	—	0,3	0,3	—	—
zirkon	+	0,2	0,4	0,2	0,2	—	—	0,2	0,2	—	0,1
titanit	—	—	0,2	—	—	—	—	0,5	0,4	0,3	—
grafit	—	—	—	—	8,1	—	—	—	—	—	10,8
rudní minerály	1,0	4,0	0,3	—	1,3	0,8	0,6	0,8	—	0,3	0,9

Lokalizace vzorků: 1—3 — spodní oddíl strojnské skupiny; 1 — biotit-muskovitická rula, 1 km jjz. od káty 936 (Jelení vrch), 2 — muskovit-biotitická rula, Hermanič, 4150 m sv. od kostela, 3 — biotit-muskovitický svor, Horní Lipka, 1 km ssz. od kostela; 4 — I2 — střední oddíl strojnské skupiny; 4 — biotit-muskovitický albický svor s grafitem, Velká Morava, 300 m ss. od káty 715, 5 — biotit-muskovitický svor, Horní Morava, 500 m zsz. od káty 715, 6 — (viz silikátová analýza) biotit-muskovitický svor s granitem, Horní Morava, 750 m jjz. od káty 715, 7 — dvojslouhný albický svor, Horní Morava, 800 m vsv. od káty 863, 8 — dvojslouhný albický svor s granitem a sturolitem, Horní Lipka, 2 km ss. od kostela, 9 — dvojslouhný albický svor, Králiky, 250 m j. od káty 666 (Výšina), 10 — dvojslouhný albický svor se sturolitem a granitem, Prostřední Lipka, 750 m s. od kostela, 11 — biotit-muskovitický svor se sturolitem a granitem, Hermanič, 900 m vsv. od kostela, 12 — biotit-muskovitický svor, Dolní Morava, 1 km z. od kostela.

Tabuľka 2

Modální složení kvarcitů, živeových kvarcitů a kvarcitických svorů
stroňské skupiny

	4	5	6	7	8	10
křemen	79,6	66,7	63,3	92,0	60,1	69,7
živece	9,2	24,5	16,1	5,0	30,8	6,2
muskovit	8,6	8,2	7,2	3,0	8,6	14,2
biotit	1,6	—	4,2	—	—	6,1
chlorit	—	—	—	—	—	—
granát	—	—	2,1	—	—	2,0
staurolit	—	—	5,8	—	—	—
turmálin	—	—	0,4	—	—	0,1
apatit	0,4	0,2	0,3	—	0,2	0,1
zirkon	0,2	—	0,1	+	0,1	—
grafit	0,5	—	—	—	—	1,3
rudní minerály	0,9	0,6	0,5	—	+	0,3

Lokalizace vzorků: 1—4 viz silikátové analýzy; 1 — muskovitická kvarcitická rula s grafitem, Velká Morava, 300 m ssv. od kóty 715, 2 — muskovit-granát-biotitický kvarcitický svor, 250 m jz. kóty 715, 3 — muskovitický živecový kvarecit, Horní Morava, 800 m vsv. od kóty 936 (Jelení vrch), 4 — muskovitický živecový kvarecit, Horní Lipka, 2 km ssv. od kostela; 5 — muskovitický živecový kvarecit, Horní Lipka, 2 km ssv. od kostela; 6 — staurolit-muskovitická kvarcitická rula s granátem a biotitem, Dolní Morava, 1 km sv. od kostela; 7 — kvarecit, Dolní Morava, 600 m vjv. od kostela; 8 — živecový kvarecit s biotitem, Horní Lipka, 900 m ssz. od kostela; 9 — živecový kvarecit s biotitem, 650 m sz. od kostela; 10 — biotit-muskovitický živecový kvarecit s granátem, Horní Lipka, 1650 m sv. od kostela

a čočky, které se generelně vyskytují při bázi svrchního oddílu stroňské skupiny, podobně jako ostatní pestré vložky. Zelenavě zbarvené, jemně až středně zrnité horniny jsou masivní až nevýrazně plošně paralelní o struktuře převážně granonematoblastické, ojediněle symplektitické a cedníkové. Minerální složení (viz tab. 3): amfibol, živece, \pm křemen, \pm biotit, \pm chlorit, \pm granát, \pm pyroxen, \pm minerály epidotové skupiny, \pm akcesorie: titanit, apatit, rudní minerály. Silně pleochroická, do 1 mm velká, hypautomorfni až xenomorfni zrna amfibolu jsou často korodována světlými minerály a obrůstána biotitem. Ojedinělá slabě pleochroická zrna pyroxenu jsou především v základní tkáni a nehojně jako uzavřeniny v granátu; velikost zrn je ca 0,05 mm a odpovídají svými optickými vlastnostmi diopsidu, event. omfacitu. S ohledem na symplektitické struktury a přítomnost reliktních pyroxenů lze předpokládat, že část granatických amfibolitů vznikla degradací eklogitů.

Smulikowski (1967) vydělil při studiu eklogitů v metamorfiku Ládka i Šniežníka čtyři genetické etapy: 1. předeklogitovou, 2. eklogitovou, 3. amfibolitovou a 4. migmatitovou. V etapě 2. dochází v hloubce k eklogitizaci, při níž vzniká paragenese omfacit + granát, a to jak z hornin magmatického, tak i sedimentárního původu. Konec 2. etapy již místy krystalizují primární amfiboly

T a b u l k a 3

Modální složení amfibolitů a ostatních hornin vázaných na amfibolity strojšské skupiny

	1	2	3	4	5	6	7	8	9	10	11	12
křemen	2,9	—	3,0	0,3	—	15,8	6,6	54,4	54,6	30,2	8,2	—
živce	20,4	18,7	40,2	2,3	48,3	33,2	18,5	—	—	23,3	60,4	45,2
muskovit	—	—	—	—	—	—	8,1	43,4	8,8	12,4	—	—
biotit	—	—	—	—	—	1,6	44,4	—	44,8	23,3	22,2	3,8
chlorit	4,1	—	—	—	—	0,3	6,2	9,2	0,6	—	—	—
karbonát	—	—	—	—	—	—	—	—	—	—	0,9	—
granát	—	—	—	—	32,3	0,3	—	6,8	1,0	4,2	—	31,2
turnafín	—	—	—	—	—	—	0,4	—	—	0,5	—	—
amfibol	66,2	80,2	48,6	62,4	51,3	36,3	—	—	—	—	0,8	4,6
pyroxen	—	0,5	4,8	—	—	—	—	—	—	—	—	44,2
apatit	0,2	—	—	0,2	0,4	0,3	—	0,5	+	0,3	0,5	—
zirkon	—	—	—	—	0,1	—	0,3	—	—	0,1	0,2	—
titanit	0,4	—	—	0,8	0,3	—	3,5	—	—	—	1,3	0,1
mineraly	—	0,6	2,6	0,3	—	8,1	—	4,8	—	—	5,3	0,2
epidot, sk.	—	+	—	—	—	—	10,2	15,8	22,0	7,4	—	—
grafit	6,4	—	—	2,5	—	0,8	4,8	4,0	4,0	2,5	0,5	0,7
rudní minerály	—	—	—	—	—	—	—	—	—	—	—	—

Lokalizace vzorků: 1 — amfibolit, 4500 m výv. od kóty 936 (Jelení vrch); 2 — amfibolit, Králiky, 900 m výv. od kóty 666 (Výšina); 3 — amfibolit s pyroxenem, Dolní Heřdeč, 200 m zsz. od kóty 737 (Výška); 4 — granátický amfibolit, Dolní Heřdeč, 300 m sz. od kóty 737 (Výška); 5 — amfibolit, uzavřenina v kryštallickém vápenec, Hořmanice, 800 m jz. od kostela; 6 — amfibolická rula, Horní Morava, 1400 m výv. od kóty 1444 (Klapaté); 7 — muskovit-grafit-biotitická břidlice s chloritem a granátem, Dolní Morava, 1630 m výv. od kóty 936 (Jelení vrch); 8 — chlorit-muskovit-grafitická břidlice, Horní Morava, 750 m výv. od kóty 936 (Jelení vrch); 9 — muskovit-biotitická kvartitická břidlice, Horní Lipka, 350 m z. od kóty 805 (Výšný vrch); 10 — muskovit-biotitická rula s grafitem, Horní Lipka, 800 m sz. od kostela; 11 — biotitická rula s epidotem, Dolní Heřdeč, shodné s anal. 3; 12 — amfibolický eklogit s plagioklasem, Dolní Heřdeč, shodné s anal. 4

a plagioklasy, což znamená přechodní stadium k etapě 3. V této další etapě, kterou je možno nazvat amfibolizací, se mění omfacit na amfibol a kyselý plagioklas, a v závěru se též rozkládá granát. Patří tedy eklogity k metastabilním reliktům, zachovaným z jedné části metamorfní a tektonické evoluce.

Amfibolický eklogit byl zastižen průzkumnou rýhou u Dolní Moravy, kde tvoří v amfibolitech neostře ohrazenou polohu (čočku) o mocnosti několika metrů. Je jemnozrnný, masivní, zelenošedý s tmavšími zrnky granátů. Modální složení: pyroxen 44,2 %, granát 31,2 %, živec 15,2 %, amfibol 4,6 %, biotit 3,8 %, limonit 0,7 %, akcesorie 0,3 % (minerály epidotové skupiny, titanit, rudní zrnka). Pyroxen je prorůstán granátem a živcem, méně často biotitem, a amfibolem; je světle zelený a podle optických vlastností odpovídá diopsidu, resp. omfacitu. Struktura horniny je symplektická, event. diablastická. Živec obsahuje hojná zrna diopsidu, stejně jako granát. Zelený amfibol o velikosti do 0,3 mm je většinou korodovaný a často obrústaný biotitem.

Na druhé straně přecházejí amfibolity, laterálně i vertikálně, do zřetelně sedimentárních hornin — amfibolických rul, břidlic, biotitických rul a erlanů. Lze předpokládat, že zastižené přechodní typy odpovídají vulkanicko-sedimentárním horninám.

Erlany tvoří obvykle čočky na styku s mramory a nedosahují významnějších mocností s výjimkou výskytu u Dolní Hedče. Jsou jemnozrnné, nestejnomořně skvrnité ve světlezených a světle šedých odstínech, s drobnými zrnky hnědé až načervenalé barvy; mají masivní texturu. Minerální složení (viz tab. 4): karbonáty, křemen, živec, granát, amfibol, pyroxen (diopsid), \pm titanit, minerály epidotové skupiny, vesuvian, \pm rudní minerály. Karbonát tvoří xenomorfě omezená zrna s polysyntetickým lamelováním o velikosti do 0,5 mm. Z minerálů epidotové skupiny převažuje zoisit nad epidotem; zoisit často uzavírá diopsid a karbonát. Diopsid a amfibol (tremolit) tvoří drobná zrnka do 0,1 mm, roztroušená mezi karbonátovými zrny, nebo místy tvořící drobné shluky. Živec (albit) vytváří zrna do 0,3 mm, hojně vyplňená zrnkami diopsidu, vesuvianu, křemene a amfibolu; zrna jsou čirá, ale i v různém stupni zakalená. Křemen vyplňuje mezery mezi karbonátovými zrny. Struktura horniny je granoblastická.

Mramory vystupují jako čočkovitá tělesa mocností obvykle do 100 m, max. 300 m. Na řadě míst byly těženy jak na výrobu vápna, tak jako dekorační kámen. V tělese na Velké Moravě, délky ca 500 m a šířky kolem 300 m, částečně kryté kvartérem, bylo Krutským (1974) ověřeno $5,1 \cdot 10^6 \text{ m}^3$ zásob kategorie C₂ a $8,3 \cdot 10^6 \text{ m}^3$ prognózních zásob. Mramory jsou zde těženy a zpracovávány jako dekorační kámen. Malé ložisko Dolní Hedeč má podle téhož průzkumu prognózní zásoby ve výši 68 495 m³.

Mramory jsou bílé až světlešedé, často s tmavými proužky, mají masivní až nevýrazně plošně paralelní texturu a granoblastickou strukturu. Jsou tvořeny převažujícím kalcitem; dalšími minerály jsou: křemen, živec, \pm biotit, \pm mus-

T a b u l k a 4
Modální složení mramorů a erlanů stroňské skupiny

	2	3	4
křemen	2,5	8,6	12,4
živce	3,2	4,3	8,2
biotit	+	—	—
karbonát	90,0	53,2	43,4
granát	+	+	9,1
amfibol	0,4	3,1	5,6
pyroxen	—	8,3	9,1
apatit	+	—	—
titanit	+	+	—
minerály epidot. sk.	1,8	18,3	3,9
vesuvian	2,1	4,2	8,3

Lokalizace vzorků: 1 — (viz silikátová analýza) krystalický vápenec s uzavřeninami erlangu, Heřmanice, 450 m jv. od kostela; 2 — krystalický vápenec, Dolní Hedeč, 200 m zsz. od kóty 737 (Vyhledka); 3 — karbonátem bohatý erlan, Červený Potok, 750 m sv. od kóty 737 (Vyhledka); 4 — karbonátem bohatý erlan, Dolní Hedeč, 200 m zsz. od kóty 737 (Vyhledka)

kovit, ± granát, ± amfibol, ± apatit, ± zirkon, ± titanit, minerály epidotové skupiny, ± vesuvian a ± rudní minerály. Hlojně lamelovaná xenomorfni zrna kalcitu velikosti 0,X až X mm uzavírají nepravidelně roztroušené ostatní minerály. Mramory přecházejí laterálně i vertikálně do erlanů a vápnitých svorů.

Pod pojmem „ortoruly“ je nutno chápát soubor polygenetických hornin, jejichž geneze v celém Českém masívu není uspokojivě vyřešena. Na genezi hornin, ortorulového až migmatitového vzhledu v orlicko-kladské klenbě byla vyslovena řada názorů (magmatický původ, migmatitizace, granitizace, vznik metamorfózou z příhodných hornin). Hejtmán (1962) říká: „Předpokládá-li se různá geneze žul, může se tím spíše předpokládat různá geneze hornin ortorulového vzhledu.“ Opletal et al. (1980) se přiklánějí k polygenetickému vzniku celé této široké skupiny hornin. Na základě provedeného mapování, technických prací a petrografického studia hornin lze souhlasit s tímto názorem. Tak některé zrnito-plástevné ruly mají úzké sepětí se suprakrustálními horninami stroňské skupiny. Např. v okolí Králík, Dolní Hedeče a Červeného Potoka existují pozvolné přechody ze svorů do „ortorul“ a suprakrustální horniny tvoří relikty v horninách ortorulového vzhledu. Tento druh styku je možno vysvětlit klasickou metasomatickou školou polských autorů, nebo primárními přechody mezi oběma skupinami hornin. Naproti tomu zrnité až zrnito-šupinaté ruly mají se svory ostré netektonické kontakty, jak ukázaly mapovací rýhy sv. od Heřmanic. Tento typ styku nasvědčuje, že zrnité až zrnito-šupinaté ruly mohou být skutečnými ortorulami, jak o tom uvažují též Skácel (1977) a Doměčka

a O p l e t a l (1977) — mj. i vzhledem k tomu, že tvoří žily ve vyšších stratigrafických horizontech (v novoměstské skupině a staroměstském svorovém pásmu).

Horniny ortorulového vzhledu tvoří v mapovaném území dva pruhy. Západní pruh se na polském území nachází pod křídové sedimenty, a jeho v. hranice je dána synklinoriem Moravy, tvořeném stroňskou skupinou. K o č a n d r l e (1983) nazývá tento z. pruh jako antiklinorium Klapáče. Na V od synklinoria Moravy je antiklinorium Sušiny, ohraničené na druhé straně patrně tektonicky proti staroměstské skupině. Nemáme sice přímé důkazy, že „ortoruly“ jsou v antiklinoriích, avšak tuto pozici předpokládá naprostá většina autorů jak polských (např. S m u l i k o w s k i 1960, T e i s s e y r e 1960, K a s z a 1964, D u - m i c z 1964, S a w i c k i 1958, J u r o s z e k 1972), tak českých (O n d ě r a - - P o t m ě s h l 1966, F a j s t 1975 a 1976, O p l e t a l 1973, D o m e ě k a - - O p l e t a l 1977, O p l e t a l et al. 1980). Jižně od lipkovského zlomu se obě antiklinoria stýkají, generelně podél směrné tektonické linie hedečské. Relikty suprakrustálních hornin v okolí Králík a Dolní Hedeče mohou představovat zbytky silně asimilovaného a zároveň intenzivně denudovaného synklinoria Moravy.

Antiklinorium Klapáče je tvořeno převážně drobnozrnnými až středoziarnnými, zrnitými až zrnito-šupinatými rulami, s malým zastoupením fylosilikátů, které obsahují drobné vložky hrubě okatých rul a řidce zrnito-plástevných rul (v měřítku mapy nejdou vyjádřit). Jižně od lipkovského zlomu je antiklinorium Klapáče zastiženo hlubším denudačním řezem a je tvořeno převážně zrnito-plástevnými, místy až plástevnými rulami, které obsahují vložky zrnito-šupinatých rul a relikty hornin stroňské skupiny. Naproti tomu v antiklinoriu Sušiny zcela převládají drobnozrnné zrnito-šupinaté ruly, které mají místy vyvinuté vložky zrnito-plástevných rul.

Rozdělení „ortorul“ na tři texturní skupiny podle klasifikace H e j t m a n n a (1962) je shodné s oblastí Orlických hor. Jedná se o následující typy:

1. Drobnozrnné až středoziarnné, biotit-muskovitické až dvojslídne, zrnité až zrnito-šupinaté ruly, které jsou světle šedé až načervenalé a mají nevýraznou plošně paralelní texturu. Izolované lupinky až drobné shluky slíd na foliačních plochách sledují mírně zprohýbané a někdy špatně zřetelné foliační plochy. Charakteristickým rysem jsou přičně orientované lupinky slíd; tento typ hornin má místy až granitoidní habitus, zvláště v antiklinoriu Klapáče, kde je středně zrnitá varianta s nízkým obsahem slíd. Základní typ drobnozrnných, zrnito-šupinatých rul přechází přibýváním slíd přes šupinato-plástevné ruly do zrnito-plástevných rul. Tyto přechody jsou velmi pozvolné a jsou charakteristické střídáním jednotlivých typů, což bylo pozorováno rovněž v Orlických horách (O p l e t a l et al. 1980). Minerální složení: křemen, plagioklas, K-živec, muskovit, biotit, \pm chlorit, \pm granát, \pm apatit, \pm zirkon, \pm rudní minerály (viz tab. 5). Nenomorfjně omízená zrna křemene mají velikost kolem 0,25 mm. Draselný živec tvoří zrna do 0,8 mm, místy charakteru porfyroblastů; obsahuje běžně

T a b u l k a 5

Modální složení „ortorul“ jádra orlicko-kladské klenby

	1	2	3	4	5	8	9
křemen	43,3	44,6	50,8	46,2	51,6	45,4	34,0
K-živce	24,8	23,6	20,4	19,0	15,9	26,2	27,0
plagioklasy	10,2	16,8	10,0	10,4	9,5	15,1	10,2
muskovit	15,2	7,1	12,1	16,8	20,6	10,6	7,4
biotit	4,3	7,4	5,4	4,2	1,5	1,6	17,6
chlorit	—	—	—	1,2	—	—	2,1
granát	0,6	—	0,3	0,4	0,6	0,4	0,8
apatit	0,4	0,3	0,2	0,2	—	0,2	0,5
zirkon	0,2	0,2	—	—	0,3	—	0,2
rudní minerály	1,0	—	0,8	0,6	—	0,5	—

Lokalizace vzorků: 1 — drobnozrnná, biotit-muskovitická zrnitá rula, Velká Morava, 1500 m jz. od kóty 715; 2 — středozrnná, dvojslídňa, zrnito-šupinatá rula, Horní Morava, 750 m vjv. od kóty 1144 (Klapáč); 3 — hrubozrnná, biotit-muskovitická rula, Heřmanice, 1400 m sv. od kostela; 4 — drobnozrnná, biotit-muskovitická zrnito-šupinatá rula, Červený Potok, 1500 m sv. od kóty 737 (Vyhliadka); 5 — hrubozrnná, muskovitická zrnito-plástevná rula, Červený Potok, 900 m ssv. od kóty 737 (Vyhliadka); 6 — středozrnná, muskovitická zrnito-plástevná rula, Heřmanice, 1500 m vsv. od kostela; 7 — (viz silikátová analýza) drobnozrnná, muskovitická zrnitá rula, Dolní Hedeč, 400 m sz. od kóty 737 (Vyhliadka); 8 — středozrnná, muskovitická zrnito-šupinatá rula, Velká Morava, 1000 m vsv. od kostela; 9 — středozrnná, muskovit-biotitická zrnito-plástevná rula, Králičky, 300 m jz. od kóty 666 (Výšina)

uzavřeniny křemene, muskovitu a plagioklasů. Bazicita plagioklasů je v rozmezí albit až oligoklas, přičemž starší generace má vyšší bazicitu a je zakalená; velikost plagioklasových zrn je do 0,4 mm.

2. Biotit-muskovitické až dvojslídňné, zrnito-plástevné až plástevné ruly jsou středuře až hrubě zrnité, šedé až narůžovělé, místy nažloutlé. Mají výraznou plošně paralelní texturu přecházejí místy v plástevnou, častá je výrazně vyvinutá lineace; oproti předcházejícímu typu mají především zvětšené zrno a odlišnou texturu, avšak modálním složením se od sebe oba typy neliší, což konstatují též Opletal et al. (1980).

3. Hrubě okaté ruly jsou charakterizovány čočkami křemene a živečů, které jsou často vyvlečeny podél foliačních ploch a mají velikost kolem 1 cm. Jsou šedých, nebo červených barev a základní tkání odpovídají drobnozrnným (vzácně i středozrnným) zrnitým až zrnito-šupinatým rulám, z nichž se vyvíjejí.

Vzhledem k tomu, že rozdíly v minerálním i chemickém složení mezi všemi vydělenými texturofytami typy jsou nepatrné, lze předpokládat, že se okaté ruly vyvíjejí ze zrnito-šupinatých rul při postupné selektivní mobilizaci bez přenosu. To odpovídá názorům polské metasomatické školy o genetické řadě: suprakrustální horniny → gierałtowské ruly (= zrnité, zrnito-šupinaté a šupinaté ruly) → sněžnické ruly (= zrnito-plástevné až plástevné ruly a okaté ruly). Tento názor podporuje i výše uvedená skutečnost, že zrnito-plástevné ruly, které by

měly být středním, pokročilejším členem metasomatické řady, tvoří naopak přechody mezi suprakrustálními horninami a zrnito-šupinatými rulami.

Přehled chemismu hornin

Celkem bylo odebráno na silikátové analýzy 46 vzorků, u nichž byla ve většině případů provedena i planimetrická analýza horniny. Chemické analýzy prováděly J. Mráková, H. Urbánková a L. Mřskošová v laboratoři Geologického průzkumu, n. p., Ostrava v Rýmařově. Místa odběru vzorků jsou znázorněna na obrázku 2. Pro srovnání jednotlivých horninových skupin jak v rámci mapovaného území, tak i celé orlicko-kladské klenby byl použit přepočet a diagramy Opelta a (1971). U hornin z okolí Králík je jejich chemismus ještě charakterizován diagramy Eskoly (1915).

Ze stroňské skupiny bylo odebráno 12 vzorků rul a svorů, z nichž 3 jsou z hornin spodního oddílu a 9 ze svrchního oddílu; analýzy jsou v tabulce 6. Dále bylo odebráno 10 vzorků kvarecitů a kvarecitických svorů až rul, jejichž analýzy uvádí tabulka 7. Opela a (1973) a Opela et al. (1980) vydělují dva oddíly stroňské skupiny v Orlických horách, které jsou odlišné nejen stratigraficky a litologicky, ale i petrochemicky. Horniny svrchního oddílu mají zřetelně zvýšené obsahy K₂O, vázaného především na živec.

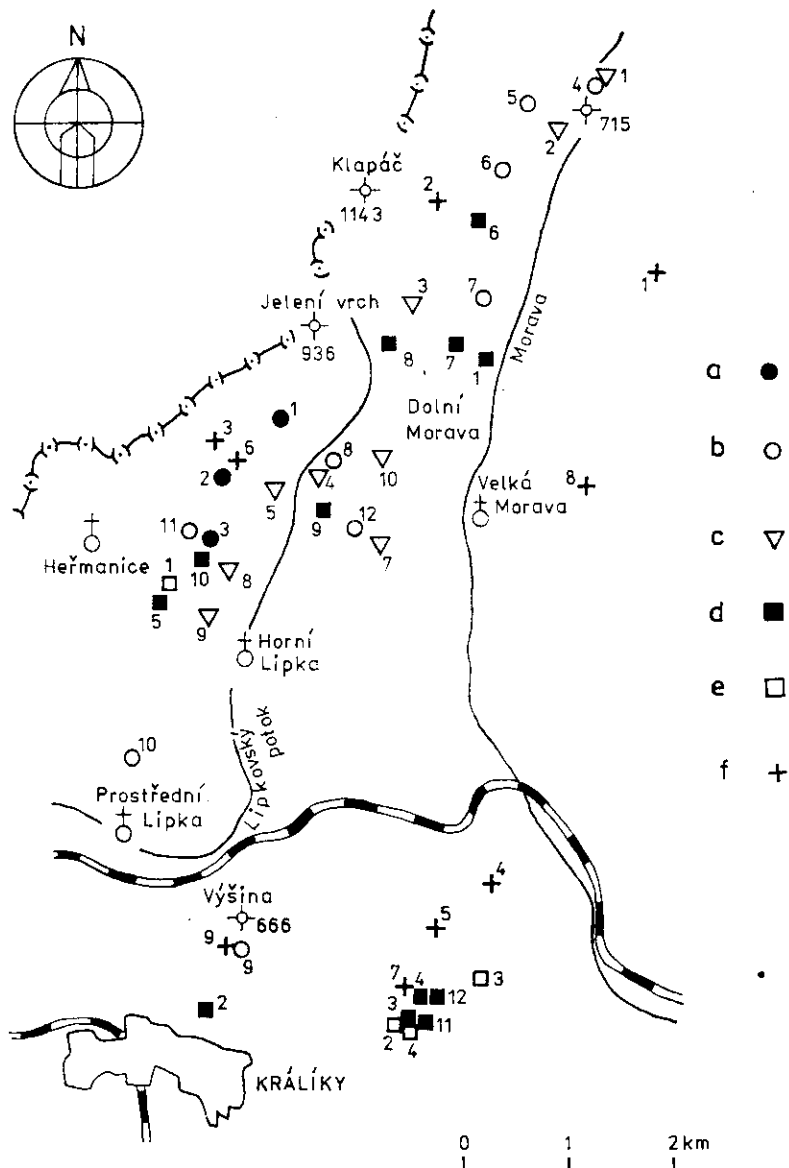
Na obrázech 3 a 4 jsou diagramy Opelta a (1971) pro ruly a svory a pro skupinu kvarecitů, kvarecitických svorů a rul, na obrázku 5 pak zjednodušený souhrnný diagram. Zvláště ze souhrnného diagramu je vidět zřetelné rozdělení hornin na dvě skupiny podobně, jak je tomu v Orlických horách. Zde, v širším okolí Králík, však řada vzorků z hornin svrchního oddílu odpovídá svým chemismem horninám spodního oddílu v Orlických horách. To je způsobeno daleko pozvolnějším přechodem mezi oběma oddíly a četnými vložkami hornin spodního oddílu ve svrchním. Tyto vložky a polohy byly v řadě případů zmapovány (v mapě je však nelze vyznačit), ale někdy je nebylo možno zřetelně oddělit od hornin svrchního oddílu. K typickým představitelům hornin svrchního oddílu stroňské skupiny, tak jak byly charakterizovány v Orlických horách, patří vzorky se zvýšeným podílem K (tj. analýzy 5 a 9). Kvarceity a kvarecitické horniny patří, podobně jako v Orlických horách, zřetelně k horninám svrchního oddílu; část těchto hornin má vulkanický podíl, což naznačuje i obrázek 6. Je zřejmé, že část hornin je blízká kyselým metavulkanitům stroňské skupiny z Orlických hor, dva vzorky patří k typickým kvarecitům a zbytek k horninám problematického zařazení. To potvrzuje i údaje Wojechowské (1976) z lokality Romanów (pokračování synklinoria Moravy na území PLR), kde jsou ve svorech vložky kyselých metavulkanitů em až m řádu.

Z diagramů ACF a A'KF na obrázku 7 vyplývá, že většina hornin stroňské skupiny (mimo kvarecitických hornin, blízkých porfyroidů) leží v poli pelitic-

T a b u l k a 6
Chemické analýzy rul a svordí stroušků skupiny

	1	2	3	4	5	6	7	8	9	10	11	12
SiO ₂	68,95	62,61	66,75	58,68	64,80	64,93	66,45	66,66	59,41	54,66	62,28	
TiO ₂	0,55	0,51	0,47	0,75	0,56	0,50	0,65	0,51	0,57	0,49	0,52	
Al ₂ O ₃	14,71	17,93	17,45	18,25	17,57	17,46	16,40	16,95	15,71	20,06	23,40	
Fe ₂ O ₃	2,43	2,17	1,65	1,38	1,24	1,34	2,93	1,58	1,80	2,96	2,31	
FeO	2,41	3,56	2,43	4,84	3,55	3,94	1,86	3,50	3,23	3,48	5,03	
MnO	0,04	0,03	0,03	0,01	0,05	0,11	0,09	0,10	0,04	0,21	0,44	
MgO	1,68	3,04	1,79	2,20	2,02	2,55	1,93	2,12	1,85	2,45	2,22	
CaO	1,00	1,03	0,61	3,20	0,73	1,56	1,19	1,23	0,82	1,00	0,88	
Na ₂ O	2,10	2,27	1,45	2,47	0,57	1,38	1,72	2,50	0,72	0,77	1,20	
K ₂ O	3,05	4,59	4,60	3,95	4,75	3,85	3,50	3,75	5,10	4,38	0,95	
P ₂ O ₅	0,07	0,21	0,08	0,17	0,20	0,29	0,18	0,11	0,22	0,15	4,75	
CO ₂	0,12	0,18	0,12	0,37	0,23	0,40	0,16	0,09	0,36	0,09	0,12	
SO ₃	st.	0,03	—	—	0,04	0,30	0,17	—	—	—	0,41	
H ₂ O ⁺	2,51	2,24	2,49	2,09	2,71	2,44	2,38	1,92	2,21	2,74	3,11	
H ₂ O ⁻	0,45	0,40	0,48	0,26	0,16	0,05	0,79	0,21	0,49	0,53	0,27	
C graf.				1,22	—	—	0,96	—	0,48	0,42	0,61	
Σ	100,70	100,80	99,20	99,62	99,48	100,80	100,10	100,49	99,48	99,20	99,09	
											100,25	

Názvy hornin a lokalizace odberů — viz tabulka 1. Vzorky 1, 3, 6, 7, 9, 10, 11 analyzována H. Urbánková, vzorky 2, 8, 12 J. Mrlíková a 4, 5 L. Mrskošová v laboratoři n. p. Geologický průzkum, závod Rýmařov



2. Mapka s vyznačenými místy odběru vzorků na planimetrické a silikátové analýzy hornin
 Stroňská skupina: a — horniny spodního oddílu; b — horniny svrchního oddílu; c — kvarcity a jejich přechody k okolním horninám; d — amfibolity a horniny s nimi spojené; e — mramory a erlany; f — „ortoruly“ jádra orlicko-kladské klenby. Čísla odpovídají příslušným vzorkům z horninových skupin, uvedených v tabulkách

Tabuľka 7

Chemické analýzy kvarcitů, živeových kvarecitů a kvarecitických svorů
stroňské skupiny

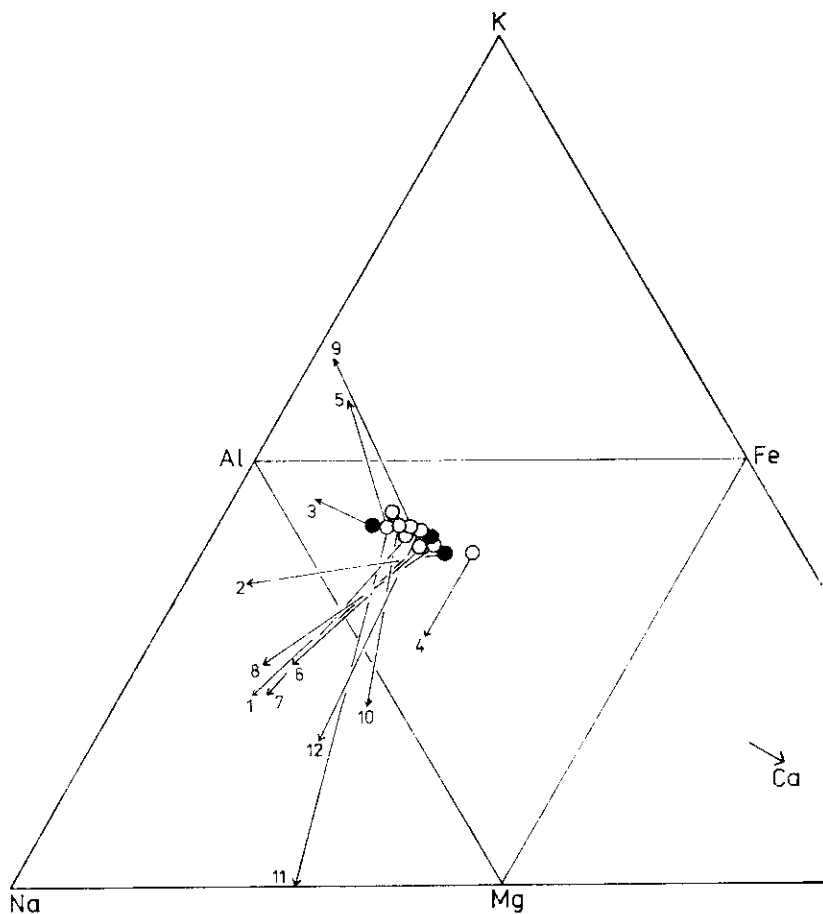
	4	5	6	7	8	9	10
SiO ₂	87,92	82,92	79,49	94,04	82,99	86,17	87,39
TiO ₂	0,13	0,05	0,40	0,09	0,13	0,14	0,21
Al ₂ O ₃	5,34	8,09	11,57	1,90	9,06	6,99	6,49
Fe ₂ O ₃	0,74	0,79	1,04	0,74	0,25	0,64	0,69
FeO	0,30	0,57	1,85	0,40	0,31	0,31	1,56
MnO	—	—	0,12	0,02	0,01	0,01	0,09
MgO	0,21	0,14	1,09	0,41	0,41	0,16	0,13
CaO	0,28	0,21	1,96	0,28	0,24	0,28	0,84
Na ₂ O	0,14	0,23	4,55	0,03	0,15	0,17	0,50
K ₂ O	3,00	5,49	2,05	0,60	5,49	3,74	1,22
P ₂ O ₅	0,08	0,12	0,09	0,03	0,03	0,09	0,10
CO ₂	0,12	0,15	0,10	0,09	0,14	st.	st.
SO ₃	st.	0,09	st.	0,02	0,05	0,08	0,12
H ₂ O ⁺	0,57	0,50	1,01	0,63	0,73	0,66	0,78
H ₂ O ⁻	0,10	0,10	0,39	0,08	0,14	0,14	0,18
C graf.	0,46	—	—	—	—	0,30	0,50
Σ	99,36	99,15	99,71	99,06	99,83	99,88	100,80

Názvy hornin a lokalizace odběrů — viz tabulka 2. Vzorky 4, 5, 7—10 analyzovala J. Mráliková, vzorky 1, 2, 3, 7 L. Mrskošová

kých a psamitických sedimentů a jejich metamorfických ekvivalentů, podle Duda a Šuka (1971) v diagramu ACF a v diagramu AKF pak v poli metasedimentů, přičemž náležejí k horninám středních stupňů metamorfózy (Šuk 1979). Kvarceity blízké porfyroidům se od metasedimentů zřetelně odlišují v diagramu AKF.

Amfibolity a horniny s nimi spojené, byly analyzovány v 10 případech, jak ukazuje tabulka 8. V diagramech ACF a AKF se rozdělují do tří skupin: na vlastní amfibolity, jejich přechody k metasedimentům a stranou ležící amfibolický eklogit. Amfibolity jsou v blízkosti vrcholu F, eklogit leží mezi amfibolity a erlány a ostatní horniny v blízkosti metasedimentů. Amfibolický eklogit spadá do pole bazických metavulkanitů Duda a Šuka (1971) a podle Smulkowského hodnoty eklogitové míry JDG je blízký grospyditům (J = 14 %, D = 66 %, G = 20 %).

Silikátové analýzy hornin ortorulového vzhledu uvádí tabulka 10. Jejich chemismus vyjadřuje diagram na obrázku 8; v poměru K : Na : Ca je nevelký rozptyl, zatímco je zřetelný trend v poměru Al : Fe : Mg. Z tohoto souboru se vyděluje analýza 6 zvýšenou hodnotou K a vzorek 9 zvýšeným Ca, kdy v prvním případě jde o ojedinělé zvýšení množství K-živec a v druhém případě



3. Chemismus rul a svorů stroňské skupiny vyjádřený v diagramu M. Opletalová 1971. Originál
Plný kroužek — ruly a svory spodního oddílu stroňské skupiny; *kroužek* — svory, albitické svory a ruly s vrchního oddílu

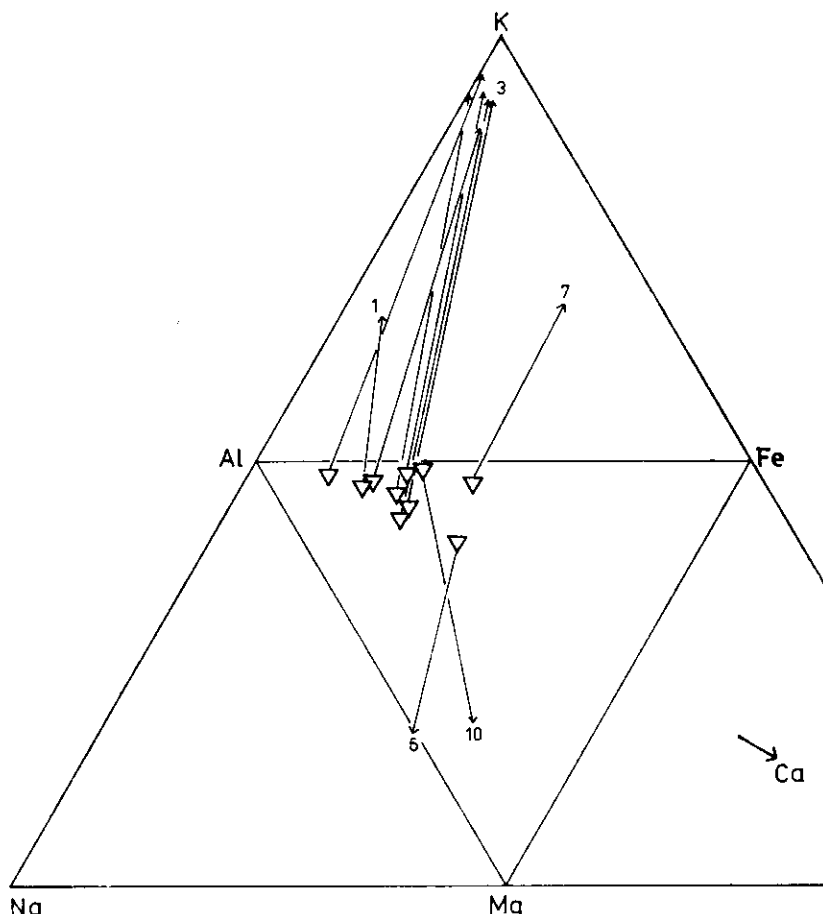
o horninu z blízkosti styku se svory. Ostatní vzorky představují poměrně homogenní soubor, i když jde o texturně rozdílné horniny. Rovněž Opletal et al. (1980) nenašli v Orlických horách výrazné rozdíly v chemismu mezi jednotlivými texturními typy a předpokládají proto, že komplex hornin ortorulového habitu nemohl vzniknout klasickou metasomatizou za přenosu Na a K, jejímž koncovým stadiem by měly být okaté sněžnické ruly. Z diagramů Eskoly (1915) vyplývá zajímavá podobnost kvareitů, živeových kvareitů a „ortorul“, což je způsobeno zvýšeným obsahem K_2O u první skupiny hornin. Do jisté míry to podporuje názory Ansilanského (1966) a Fajsta (1976), že „ortoruly“ vznikly metamorfózou příhodných hornin; v prvním případě z arkóz, v druhém z hornin vulkanického původu.

T a b u l k a 8

Chemické analýzy amfibolitů a ostatních hornin vázaných na amfibolity stroňské skupiny

	1	2	4	6	7	8	9	10	11	12
SiO ₂	42,88	48,66	41,78	55,03	54,77	77,26	73,94	64,35	56,57	47,50
TiO ₂	1,77	0,35	0,40	1,56	0,85	0,35	0,39	0,59	0,61	0,40
Al ₂ O ₃	17,36	13,91	12,24	15,29	18,40	8,98	9,76	15,23	16,74	11,99
FeO	2,62	1,30	4,45	3,91	6,31	4,31	4,70	4,88	4,73	2,45
FeO	11,09	4,84	14,03	7,16	2,53	4,67	0,66	3,86	4,44	5,50
MnO	0,25	0,41	2,00	0,48	0,34	0,09	0,07	0,15	0,12	1,21
MgO	8,49	12,45	7,46	2,93	3,92	0,97	0,83	2,02	4,07	6,59
CaO	8,07	12,05	10,80	6,05	0,85	0,77	0,36	2,94	4,07	18,34
Na ₂ O	1,10	1,08	1,15	1,05	0,47	0,32	0,30	4,65	4,61	1,50
K ₂ O	0,50	0,55	2,20	1,20	3,17	3,30	1,91	3,46	5,54	2,20
P ₂ O ₅	0,74	0,06	0,04	0,60	0,55	0,30	0,32	0,22	0,14	0,08
CO ₂	0,42	0,20	0,16	0,11	0,10	0,34	st.	0,64	0,43	0,09
SO ₃	—	—	st.	0,06	st.	0,02	0,10	0,09	—	st.
H ₂ O ⁺	4,40	2,63	4,74	2,82	5,46	4,98	2,40	4,88	4,01	0,73
H ₂ O ⁻	0,07	0,26	0,94	1,85	1,29	0,70	0,78	0,58	0,20	0,78
C graf.	—	0,56	—	—	4,04	2,63	3,23	4,28	—	—
Σ	99,46	99,01	99,03	99,80	100,05	100,79	99,45	100,52	100,28	99,06

Názvy hornin a lokalizace odberů — viz tabulka 4. Vzorky 1, 4, 8, 12 analyzovala L. Mrškošová, 2, 6, 7 H. Urbánková a 9, 10, 11 J. Mrlíková

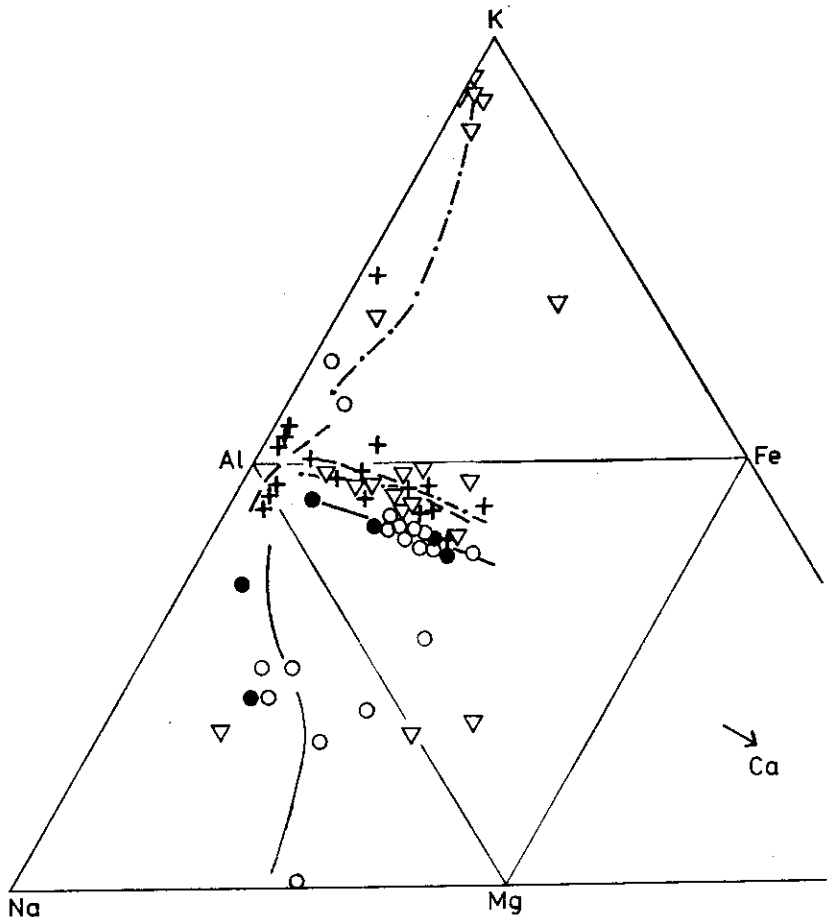


4. Chemismus kvarcítů a kvarcitických hornin stroňské skupiny, vyjádřený v diagramu M. Opletala 1971. Originál

Tektonický a metamorfní vývoj

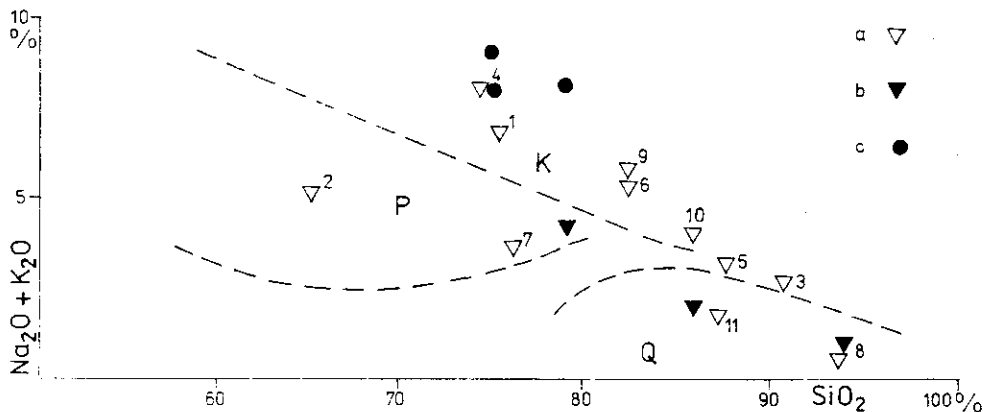
Naprostá většina našich autorů pracujících v této oblasti, pokládá za hlavní tektono-metamorfni proces v orlicko-kladské klenbě kadomské vrásnění. Většina autorů rovněž předpokládá, že horniny stroňské skupiny jsou zachovány v synklinoriích a „ortoruly“ tvoří antiklinoria. K tomuto typu stavby se přikláníme i v této oblasti, v širším okolí Králík.

Synklinorium Moravy je intenzivně provrásněno, přičemž osy megavrás mají generelní směr S—J a ponořují se j. směrem. Paralelně s osními róvinami vrás probíhají klivážové plochy, které jsou zřetelně kosé ke starší foliaci jen v uzávěrech vrás. V území mapovaném Kočandrleem (1983) lze vydělit tři



5. Souhrnný diagram chemismu metasedimentů strošovské skupiny a „ortorul“ jádra orlicko-kladské klenby, vyjádřený poměrem K : Na : Ca a Al : Fe : Mg, přepočet M. Opletala, 1971. Originál
Vysvětlivky viz obr. 2. Vyznačené trendové křivky jsou typické pro oblast Orlických hor. Plná čára — spodní oddíl strošovské skupiny; čerchovaná — svrchní oddíl; čárkovaná čára — „ortoruly“

směrově a geneticky odlišné vráslové systémy B-os. Nejstarší izoklinální vrásy jsou často „mrtvé“, položené v klivážových plochách; mají směr 178–189° a úklon 26–34° (viz obr. 9) a jsou paralelní s osou synklinoria Moravy. Tyto B-osy jsou všemi autory (mj. Fa j s t e m 1975, 1976, O p l e t a l e m 1973, O p l e t a l e m et al. 1980) považovány za nejstarší a geneticky spjaté s kadomskou orogenézí. Nejstarší vrásy jsou místy přepracovány mladšími ohybovými vrásami V₂, které jsou směrově sblížené (340–20°), ale uklánějí se strmě opačným směrem pod úhlem 69–80°. Nejmladším systémem vrás jsou drobné kink-band vrásky (mm až cm rádu) směru 69–82° a sklonu 23–34°. Tento systém V₃ je hojný především v horninách strošovské skupiny, zatímco v „orto-



6. Chemismus kvarcítů, kvarcitických hornin a porfyroidů stroňské skupiny ve srovnání s obdobnými horninami Hrubého Jeseníku (diagram podle F. Fediuka et al. 1974). K — pole keratofyrů, P — pole problematických hornin, Q — pole kvarcítů Hrubého Jeseníku. Horniny orlicko-kladské klenby: a — kvarcity, živcové kvarce a kvarcítické horniny z okolí Králík; b — kvarcity a kvarcítické svory Orlických hor; c — porfyroidy stroňské skupiny z Orlických hor.

rulách" je vyzámený. Drobné lineární prvky, zvláště svraštění na foliačních plochách, jsou rovnoběžné s vráskami V₁.

Průběh foliačních ploch je v celém území silně sjednocen (10–30°), ale úklon se mění (viz obr. 10). Na Z, v antiklinoriu Klapáče a v synklinoriu Moravy, jsou generelně střední sklony k V, v antiklinoriu Sušiny je úklon strmější a přechází přes 90° ke strmému sklonu k Z (v nejvýchodnější části terénu).

Metamorfní vývoj stroňské skupiny, v okolí Králík, je charakterizován starší metamorfózou ve staurolitové zóně; kromě staurolitu je hojně přítomný granát. Složitost starších etap metamorfního vývoje ukazuje výskyt degradovaného amfibolického eklogitu se symplektitickou strukturou, který tvoří polohu v granatických amfibolitech. Podle Smalíkova (1967) lze vydělit etapy: 1. předecklogitovou, 2. eklogitovou, 3. amfibolitovou a 4. migmatitovou (viz výše). Horniny ortorulového a migmatitového vzhledu jsou zřetelně mladší nežli horniny stroňské skupiny, přičemž kontakty jsou místy ostré, jindy relativně pozvolné, se zachovalými reflekty suprakrustálních hornin v „ortorulách“. Počátně častým akcesoriickým minerálem hornin ortorulového habitu je granát, který je často zonární a v další fázi je korodován a rozpuštěn. Studium granátů a dalších minerálů z „ortorul“, amfibolitů a metasedimentů z. i. v. křídla orlicko-kladské klenby, bude předmětem další práce a umožní lépe charakterizovat metamorfní etapy.

Horniny stroňské skupiny byly v okolí Králík postiženy, podobně jako v Orlických horách, slabou retrográdní metamorfózou, při níž dochází k chloritizaci biotitu a místy granátu a epidotu. Tento retrográdní proces je možno spojovat s etapou, při níž vznikaly nejmladší vrásky typu kink-band.

T a b u l k a 9
Chemické analýzy mramorů a erlanů
stroňské skupiny

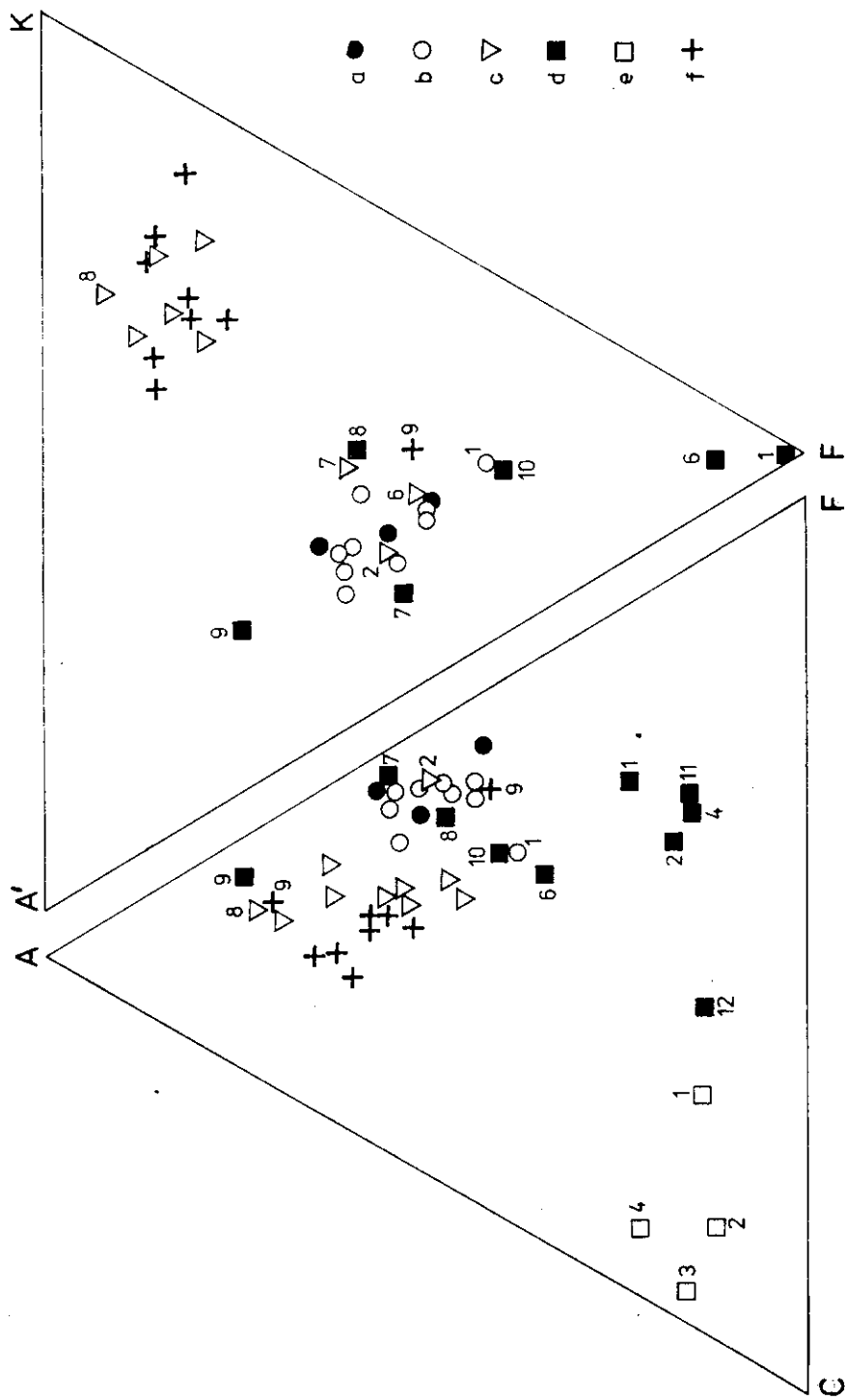
	1	2	3	4
SiO ₂	20,11	8,28	27,67	19,32
TiO ₂	0,19	0,10	0,20	0,19
Al ₂ O ₃	4,46	1,75	5,25	4,34
Fe ₂ O ₃	0,69	0,44	1,00	0,84
FeO	1,24	0,58	0,90	1,07
MnO	0,08	0,09	0,08	0,09
MgO	1,41	0,81	3,86	1,52
CaO	41,70	48,46	36,12	42,64
Na ₂ O	0,97	0,04	0,36	0,04
K ₂ O	0,55	1,02	0,12	0,20
P ₂ O ₅	0,07	0,02	0,13	0,08
CO ₂	27,62	36,95	21,56	29,00
SO ₃	st.	—	—	—
H ₂ O ⁺	st.	0,25	0,51	0,42
H ₂ O ⁻	0,37	0,09	0,53	0,19
LiO ₂	0,01	0,01	—	0,01
Σ	99,47	98,89	98,29	99,95

Názvy hornin a lokalizace odběrů — viz tabulka 3. Vzorky 2, 4 analyzovala J. Mrliková, 1 L. Mrskošová a 3 H. Urbánková

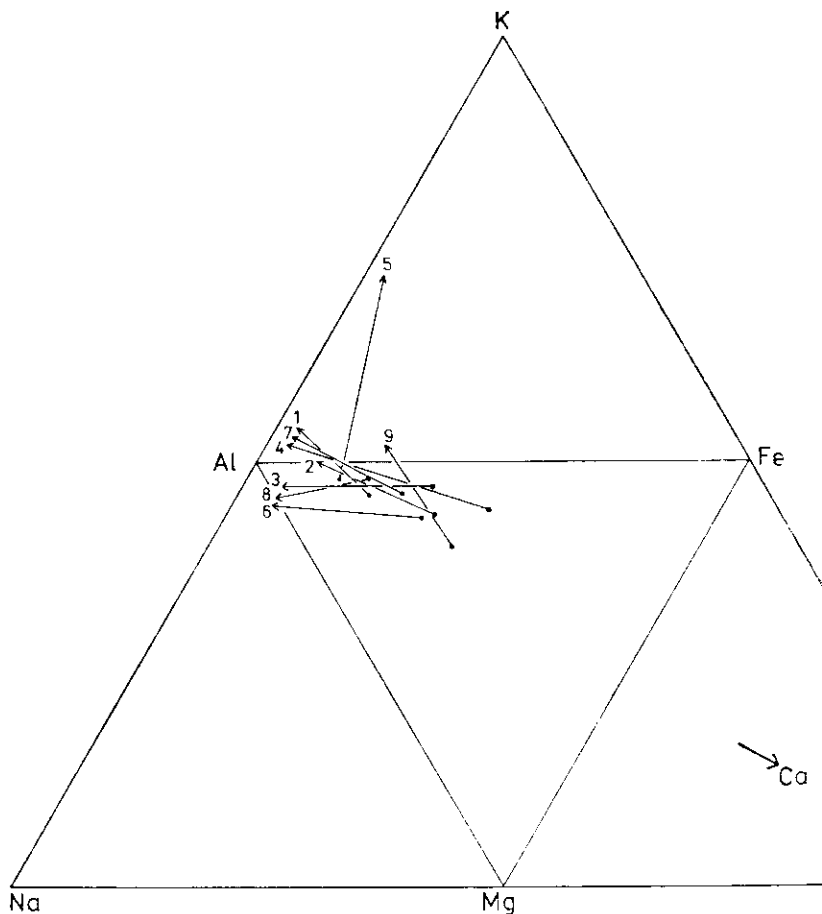
T a b u l k a 10
Chemické analýzy „ortorul“ jádra orlicko-kladské klenby

	1	2	3	4	5	6	7	8	9
SiO ₂	76,14	73,78	75,38	73,30	75,73	74,91	77,98	74,98	63,87
TiO ₂	0,09	0,18	0,07	—	0,07	0,10	0,15	0,12	0,60
Al ₂ O ₃	12,35	13,46	12,88	13,46	11,49	13,20	11,07	12,99	16,38
Fe ₂ O ₃	0,35	1,35	1,29	0,90	1,38	0,64	0,83	0,90	1,60
FeO	0,79	0,85	0,49	0,48	0,52	0,70	0,62	0,53	3,79
MnO	0,03	0,04	0,03	0,02	0,01	0,02	0,02	0,03	0,08
MgO	0,26	0,48	0,18	0,13	0,27	0,26	0,26	0,20	1,95
CaO	0,66	0,99	0,83	0,53	0,62	0,45	0,67	0,76	1,34
Na ₂ O	2,17	2,36	2,86	3,25	2,60	1,02	2,00	2,52	1,57
K ₂ O	4,90	5,10	4,90	5,09	5,05	5,84	4,34	4,39	5,40
P ₂ O ₅	0,26	0,21	0,26	0,21	0,26	0,09	0,18	0,20	0,20
CO ₂	0,40	0,12	0,09	0,13	0,09	0,18	0,20	0,09	0,10
SO ₃	st.	st.	0,05	st.	st.	0,06	st.	st.	—
H ₂ O ⁺	1,03	1,24	1,05	1,55	0,88	1,40	0,94	0,96	1,92
H ₂ O ⁻	—	0,24	0,09	0,24	0,21	0,32	0,29	0,40	0,33
Σ	99,13	100,40	100,45	99,29	99,18	99,19	99,55	99,07	99,13

Názvy hornin a lokalizace odběrů — viz tabulka 5. Vzorky 1, 7, 8 analyzovala L. Mrskošová, 2, 3, 9 H. Urbánková a 4, 5, 6 J. Mrliková v laboratoři n. p. Geologický průzkum Ostrava, závod Rýmařov

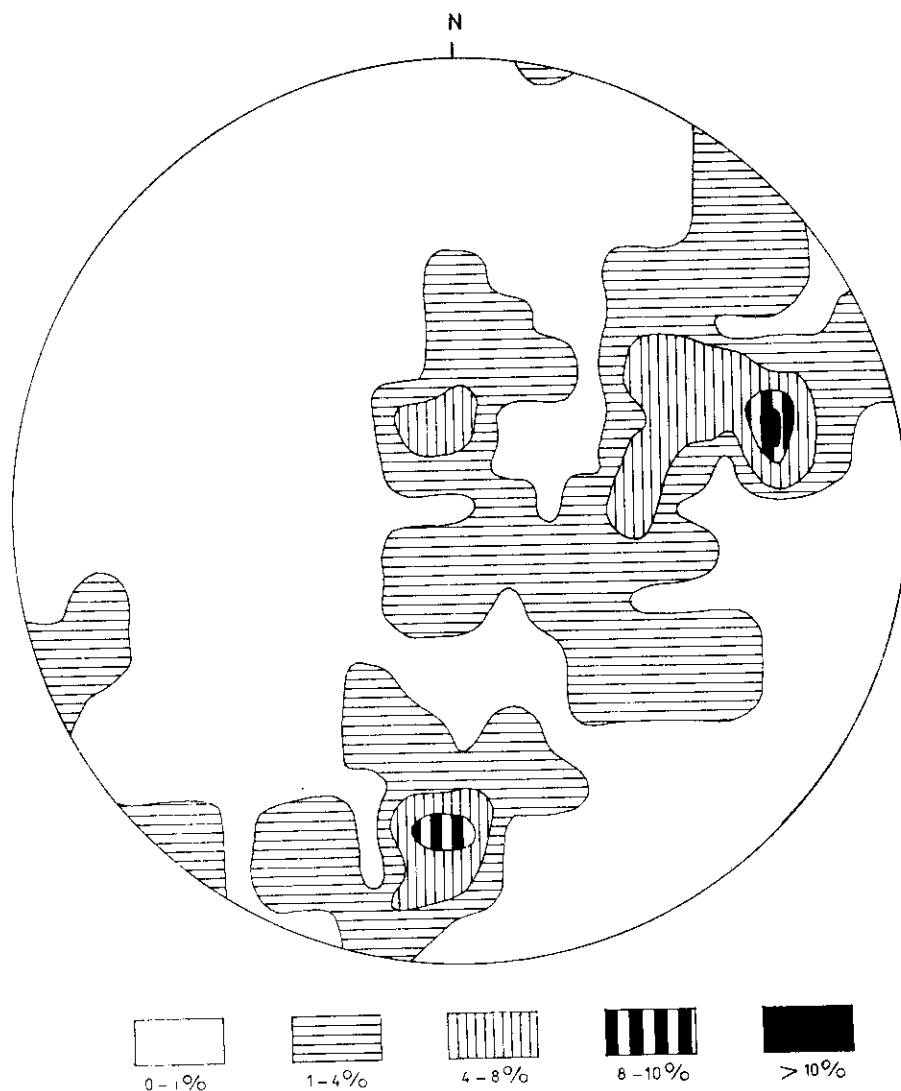


7. Chemismus všech vydělených horninových skupin, vyjádřený v diagramu ACF+MKF P. Ruskoly 1945
Strojníkova skupina: *a* — metasedimenty spodního oddílu; *b* — metasedimenty svrchního oddílu; *c* — kvartity a jejich přechody k okolním horninám; *d* — amfibolity a horniny s nimi spojené; *e* — mramory a tefany; *f* — „vortoruly“ jádra orlicko-kladské klenby



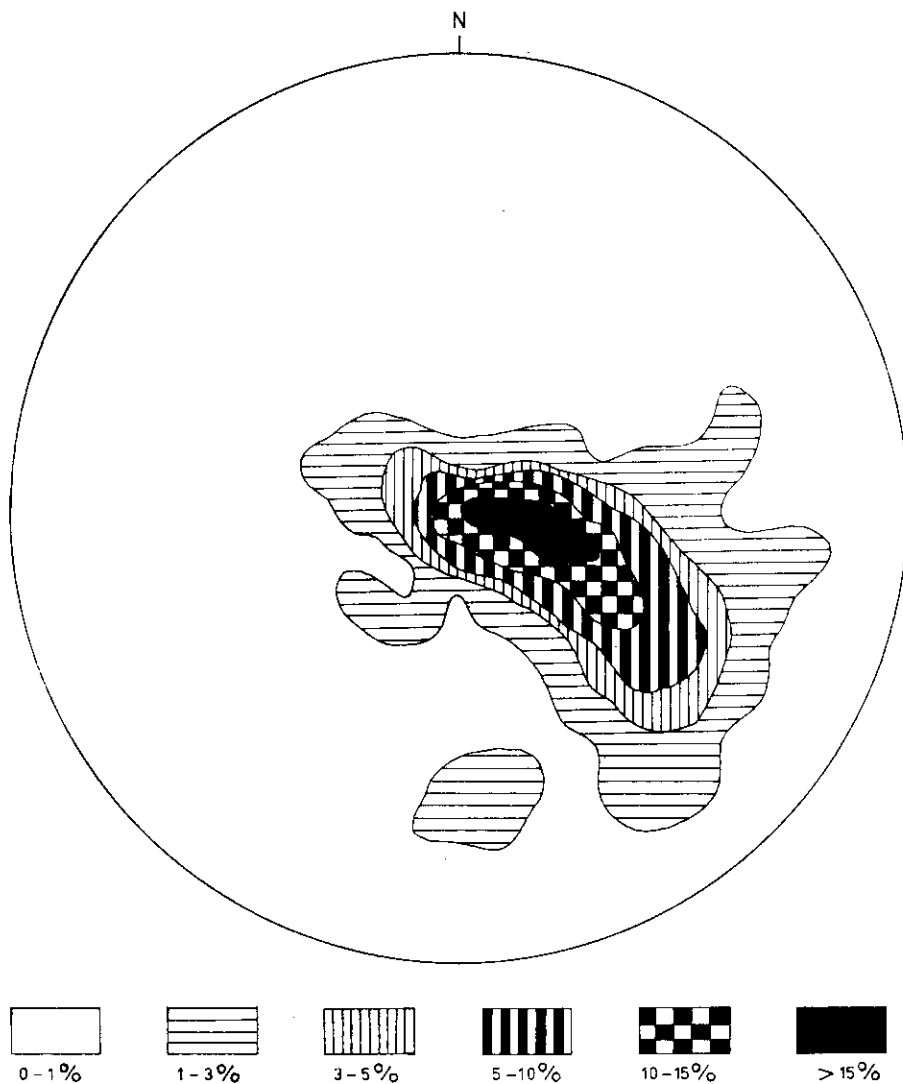
8. Chemismus „ortorul“ jádra orlicko-kladské klenby v diagramu M. Opletala 1971. Originál

Zlomová tektonika se projevuje čtyřmi odlišnými směry tektonických linií. Nejstarší je směrný systém SV—JZ, který je reprezentován především hedečskou tektonickou linií, probíhající z okolí Červené Vody přes Dolní Orlici a Dolní Hedeč až k Červenému Potoku, kde je ukončena na příčném lipkovském zlomu. Pokračování hedečské tektonické linie k S, podél synklinoria Moravy, je velmi pravděpodobné, ale její průběh je zastřen sedimenty tertiéru a kvartéru v údolí řeky Moravy. Směrem do Polska pak navazuje na význačnou tektonickou linií v okolí Kletna. Na tuto tektonickou zónu klade Oberle (1960) hranici mezi v. a z. část orlicko-kladské klenby. Paulek (1953, 1979 aj.) označuje tuto linii jako příkrovovou plochu, oddělující příkrov orlický od příkrovu Klapáče. V současné době jsou rovněž staronově popisovány příkrovové z Jeleníků (Cháb - Opletal (1984) a Cháb et al., 1984). Za účelem ověření



9. Konturový diagram B-os vrásek, měřených v širším okoli Králík. Projekce na spodní polokouli. 33 měření. Originál

průběhu hedečské tektonické linie a jejího charakteru byla provedena v Červené Vodě – Šanově magistrální rýha dlouhá 65,5 m. Jak popisuje a nákresem rýhy dokumentuje Kočandrle (1983), bylo zjištěno, že tato tektonická zóna je charakteristická několika tektonicky porušenými zónami v „ortorulách“, a to o celkové mocnosti 41 m (z toho je 13 m mylonitizovaných „ortorul“). Všechny zastižené tektonické zóny mají rupturelní charakter a jsou zřetelně svršlé až velmi strmé. I podle průběhu této dislokace v terénu je zřejmé, že



10. Konturový diagram spádnic foliačních ploch z širšího okolí Královéhradeckého kraje. Projekce na spodní polokouli, 347 měření. Originál

jde o velmi strmou tektonickou linii. Nelze proto souhlasit s tím, že tato linie je násunovým zlomem a rovněž na ní nelze prokázat výrazný posun. Pokud příkrovová stavba v této oblasti existuje, je nutno hledat násunové zlomy jinde.

Mladší zlomový systém směru SZ–JV je reprezentován drobnými tektonickými liniemi rupturelního charakteru. Mezi Dolní a Velkou Moravou dochází podle tohoto zlomového systému k posunu hranice synklinoria Moravy. Za nejmladší lze považovat zlomy směru S–J a V–Z, na nichž dochází k poklesům

a výzdvihu jednotlivých ker. Podél lipkovského zlomu došlo k výzvihu j. kry, která je intenzivně denudována jak před terciérem, tak i po něm. Neogenní sedimenty jsou zde zachovány, na rozdíl od severnější kry, pouze v izolovaných reliitech. Podél zlomů s.-j. i v.-z. směru došlo místy i k zaklesnutí křídových sedimentů kladského prolomu, přičemž je pravděpodobné, že některé z těchto zlomů mají předkřídové založení.

Závěr

Mapované území v širším okolí Králík patří k v. křidlu jádra orlicko-kladské klenby. Na Z jsou horniny krystalinika zčásti tektonicky a zčásti transgresivně omezeny křídovými sedimenty kladského prolomu. Severně od Králík jsou terciérní (neogenní) písčité jíly a jílovité štěrky vyvinuty až v mocnosti přes 25 m. Při JV. okraji mapovaného území vystupuje staroměstská skupina s amfibolity a svory, která patrně tektonicky hraničí s „ortorulami“ jádra orlicko-kladské klenby. Na styku bylo nalezeno nové hadcové těleso o rozměrech 50 . 150 m.

Základními stavebními jednotkami mapovaného území je jednak stroňská skupina, jednak „ortoruly“. Stroňská skupina tvoří pruh max. 2 km široký, u kterého předpokládáme megasynklinální stavbu (synklinorium Moravy). Přechází na naše území z Polska v oblasti Králického Sněžníku a u Prostřední Lipky končí na v.-z. lipkovském zlomu. Jižněji jsou zachovány jen relikty hornin stroňské skupiny, které jsou zčásti asimilovány „ortorulami“. Synklinorium Moravy pravděpodobně odpovídá neratovsko-kunštátskému synklinoriu z Orlických hor a má shodně redukován spodní oddíl stroňské skupiny. Rozdělení stroňské skupiny na dva stratigrafické oddíly se ukázalo platné i v okolí Králík. rozdíl je v tom, že zde je přechod mezi oběma oddíly povlovnější.

Spodní oddíl je tvořen muskovit-biotitickými až dvojslínými rulami, místy vzhledu perlových rul, v jejichž nadloží jsou biotit-muskovitické až dvojslíné svory. Kolem hranice obou oddílů, většinou však již v horninách svrchního oddílu se vyskytují polohy a čočky vložkových hornin; jsou to kvarecity, živecové kvarecity a kvarecitické ruly a svory, amfibolity a s nimi spojené horniny hybridního charakteru, erlany a mramory. V jednom případě zastižený amfibolický eklogit má úzké sepětí s amfibolity a granátickými amfibolity, které mají místy symplektitickou strukturu a reliktní pyroxen. Je pravděpodobné, že část amfibolitů může představovat amfibolizované eklogity, což je v souladu se Smulikowským (1967).

Svrchní oddíl je charakterizován v Orlických horách jako vulkanicko-sedimentární souvrství. Zde v okolí Králík sice typické metavulkanity nejsou, avšak jsou nahrazovány (podobně jako v Orlických horách) živecovými kvarecity se zvýšeným obsahem K-živee. Shoda chemismu těchto živecových kvarecitů s porfyroidy stroňské skupiny v Orlických horách ukazuje, že jde o horniny, jejichž

vznik je vázán na kyselý vulkanismus. Tento názor potvrzuje i údaje Wojciechowské (1976) z lokality Romanów (pokračování synklinoria Moravy na území PLR), kde jsou ve svorech vložky kyselých metavulkanitů. Kvareity obvykle zvolna přecházejí do biotit-muskovitických až dvojslídlných a granát-biotit-muskovitických svorů, albitických svorů a rul (se zřetelným svorovým habitem). Kromě běžně přítomného granátu je dalším typomorfním minerálem akcesorický staurolit.

Pod pojmem „ortoruly“ je nutno chápát soubor hornin, které většinu pravděpodobně vznikly polygeneticky. Na jedné straně byly zastiženy relativně pozvolné přechody mezi horninami stroňské skupiny a horninami ortorulového až migmatitového vzhledu, na druhé straně jsou velmi ostré, netektonické kontakty mezi oběma skupinami hornin. Z toho usuzujeme, že zrnito-plastevné až plastevné ruly, s častými přechody do okolních suprakrustálních hornin, mohly vzniknout v důsledku metasomatických pochodů, nebo metamorfózou vhodných hornin (arkóz či vulkanitů). Naproti tomu zrnito-šupinaté a zrnité ruly s ostrými kontakty jsou velmi pravděpodobně skutečnými ortorulami, o čemž svědčí i to, že tvoří žily ve vyšších stratigrafických horizontech (v novoměstské a staroměstské skupině).

Západně od synklinoria Moravy budují antiklinorium Klapáče zrnité až zrnito-šupinaté ruly, které obsahují vložky hrubě okatých rul a zrnito-plastevných rul. Východní antiklinorium Sušiny je tvořeno převládajícími zrnito-šupinatými rulami, které jen místa mají nehojně vložky zrnito-plastevních rul. Jižně od lipkovského zlomu se obě antiklinoria stýkají, generelně podél hedečské tektonické linie. Relikty suprakrustálních hornin v okolí Králík a Dolní Hledče mohou představovat zbytky silně denudovaného synklinoria Moravy.

„Ortoruly“ byly rozděleny, podobně jako v Orlických horách, na tři texturní skupiny: zrnité až zrnito-šupinaté, zrnito-plastevné až plastevné a na hrubě okaté. První typ generelně odpovídá geiraltovským rulám, další dva sněžnickým. Hrubě okaté ruly se vyzývají ze zrnito-šupinatých rul selektivní mobilizací, nikoliv přínosem drasliku, jak předpokládá polská metasomatická škola. Všechny strukturní typy „ortoru“ mají v podstatě shodný chemismus a modální složení, takže nelze souhlasit s tím, že sněžnické rudy jsou nejpokročilejším členem metasomatické řady s nejvyšším přínosem drasliku.

Intenzívne provrásnělé synklinorium Moravy má osy megavrás směru S-J s j. úklonem. Paralelně s osními rovinami vrás probíhají klivážové plochy. Nejstarší vrásky V_1 (ca 180/30) jsou přepracovány směrově sbliženými vrásami V_2 , které se však uklánějí opačným směrem (ca 0/75°). Nejmladší puklinové vrásky mají generelně směr 75° a sklon kolem 30°. Průběh foliačních ploch je v celém území silně sjednocen (10–30°); v antiklinoriu Klapáče a synklinoriu Moravy jsou většinou střední úkly k V, zatímco v antiklinoriu Sušiny jsou úkly strmé až překocené k Z.

Metamorfní vývoj stroňské skupiny lze charakterizovat jako polyfázový.

Starší metamorfóza se projevuje typomorfním minerálem staurolitem. Složitost starších etap metamorfického vývoje ukazuje výskyt degradovaného amfibolického eklogitu, který tvoří polohu v granátických amfibolitech. Zřetelně nejmladší slabá retrográdní metamorfóza je pravděpodobně spjatá se vznikem vrásek kink-band, a projevuje se místně chloritizací biotitu, granátu a epidotu.

Nejstarším zlomovým systémem sv.-jz. směru je především reprezentován směrnou hedečskou tektonickou linií. Sem klade Paálk (1953, 1979) svou příkrovovou plochu mezi příkrov orlický a Klapáče. Tato významná tektonická linie byla ověřena rýhou a bylo zjištěno, že má zřetelně rupturní charakter: svislé až velmi strmé tektonické zóny v „ortorulách“ mají celkovou mocnost 41 m. Nelze souhlasit s tím, že tato linie je násunovým zlomem. Pokud příkrovová stavba v této oblasti existuje, je třeba hledat násunové zlomy jinde.

K tisku doporučil Z. Pouba

L iter atura

- A n s i e w s k i J. (1966): Petrografia metamorfiku Gór Bialskich. — Geol. sudetica, 2, 121—260. Warszawa.
- B a l a t k a B. - C z u d e k T. - D e m e k J. - S l á d e k K. (1973): Regionální členění reliéfu ČSR. — Sbor. Čs. geogr. Společ., 80, 177—183. Praha.
- B e d e r k e E. (1925): Bau und Alter des Ostsudetischen Gebirges. — Neu. Jb. Mineral. Geol. Paläont., Abt. B., 53, 98—116. Stuttgart.
- (1929): Die Grenze von Ost- und Westsudeten. — Geol. Rdsch., 20, 186—205. Berlin.
- D o m e ě k a K. - O p l e t a l M. (1974): Granitoidy západní části orlicko-kladské klenby. — Acta Univ. Carol. Geol., 1, 75—109. Praha.
- (1976): Stratigrafie, stavba a metamorfóza severní části novoměstské série. — Sbor. geol. Věd. Geol., 28, 157—187. Praha.
- (1977): Přehled geologie krystalinika západního křídla orlicko-kladské klenby. — Výzk. Práce Ústř. Čst. geol., 16/6, 7—16. Praha.
- (1980): Metamorphosed Upper Proterozoic tholeiites of the NE part of the Bohemian Massif. — Krystalinikum, 15, 55—80. Praha.
- D o n J. (1964): Góry Złote i Krowiarki jako elementy składowe metamorfiku Śnieżnika. — Geol. sudetica, 1, 79—117. Warszawa.
- (1975): Następstwo gnejsów metamorfiku Śnieżnika na przykładzie analizy struktur liniowych w strefie kontaktowej masywu Radochowa. — Przew. 47. zjazdu Pol. Tow. Geol., Inst. Geol. Wydaw. Geol., 88—94. Warszawa.
- D u d e k A. - S u k M. (1971): Metamorphic facies series in the Pre-cambrian of the Bohemian Massif. — Acta Univ. Carol., Hejtman Vol., 1—2, 9—24. Praha.
- D u m i e c z M. (1964): Budowa geologiczna krystaliniku Góra Bystrzyckich. — Geol. sudetica, 1, 169—208. Warszawa.
- (1976): Próba wyjaśnienia tektonogenezy serii zmetamorfizowanych Ziemi Kłodzkiej. — Materiały konferencji terenowej, Międzylesie, 9—38. Wrocław.
- E s k o l a P. (1915): On the relation between the chemical and mineralogical composition in the metamorphic rocks of the Orijärvi region. — Bull. Comm. géol. Finl., 46, 109—145. Helsinki.
- (1939): Die metamorphen Gesteine. In: Barth T. - Correns C. - Eskola P.: Die Entstehung der Gesteine. Springer-Verlag. Berlin.

- Fajst M. (1975): Geneze klenbových struktur ve východní části Českého masivu. — Zpr. o věd. výzk. činnosti v r. 1974, 19—21, Úst. geol. věd přírodrověd. fak. Univ. Karl. Praha.
- (1976): Nová diskordance v prekambru Českého masivu. — Čas. Mineral. Geol., 21, 3, 257—275. Praha.
- Fediuk F. - Pouba Z. - René M. (1974): Původ křemičitých hornin Hrubého Jeseníku. — Acta Univ. Carol., Geol., 3, 203—230. Praha.
- Fischer G. (1935a): Der Bau des Glatzer Schneegebirges. — Jb. Preuß. Geol. Landesanst., 56, 712—732. Berlin.
- (1935b): Das Dach des Moldanubikums in Schlesien, in dem Bayerischen Wald und in Mähren. — Jb. Preuß. Geol. Landesanst., 56, 733—741. Berlin.
- Gunić T. (1976): Nowe wyniki badań stratygraficznych w metamorfiku Góra Bystrzyckich. Orlickich i metamorfiku Śnieżnika. — Materiały konferencji terenowej, Międzylesie, 39—42. Wrocław.
- Harazim S. - Pacltová B. - Pouba Z. (1981): Organické zbytky v krystaliniku silezika a východního lugika (problém stáří metamorfovaných sedimentů). — Sborník „Korelace proterozoických a paleozoických stratiformních ložisek“ IV. — Ústav geol. věd přírodrověd. fak. Univ. Karl., 224—247. Praha.
- Hejtmán B. (1962): Petrografie metamorfovaných hornin. — Academia. Praha.
- Cháb J. - Fišera M. - Opletal M. - Fediuková E. - Novotný P. - Skácelová D. (1984): Problémy tektonického a metamorfního vývoje východní části Hrubého Jeseníku. — Sbor. geol. Věd. Geol., 39, 27—72. Praha.
- Cháb J. - Opletal M. (1984): Příkrovová stavba východního okraje skupiny Červenohorského sedla v Hrubém Jeseníku. — Věst. Ústř. Čst. geol., 59, 1, 1—10. Praha.
- Chaloupský J. (1975): Stratigrafie prekambria Českého masivu. In: Hornická Příbram ve vědě a technice 1975. — Sekce geologie ložisek nerostných surovin, G 2, 17—51. Příbram
- (1978): The Precambrian tectogenesis in the Bohemian Massif. — Geol. Rdsch., 61, 1, 72—90. Stuttgart.
- Juroszek C. (1972): Granitognejsy Góra Bystrzyckich. — Arch. mineral., 30, 1—2, 173—242. Warszawa.
- Kaszta L. (1964): Budowa geologiczna górnego dorzecza Białej Łądeckiej. — Geol. sudetica, 1, 119—167. Warszawa.
- Kočandrle J. (1983): Vysvětlivky ke geologickým mapám 1 : 25 000, listy 14-231 (Horní Morava), 14-232 (Staré Město), 14-233 (Králíky), 14-234 (Hanušovice). — MS archív Ústř. úst. geol. Praha.
- Kodým O. - Svoboda J. (1949): Zpráva o geologických výzkumech v Orlických horách (list gener. mapy Vysoké Mýto). — Věst. St. geol. Úst. Čs. Republ., 24, 2—3, 106—109. Praha.
- Köhler R. - Raaz F. (1951): Über eine neue Berechnung und graphische Darstellung von Gesteinsanalysen. — Neu, Jb. Mineral., Mh., 247—263. Stuttgart.
- Kölbl L. (1929): Die alpine Tektonik des Altvatergebirges. — Mitt. geol. Gesell., 22, 65—124. Wien.
- Krutský N. (1974): Orlické hory — metamorfy. — MS Geofond. Praha.
- Němc D. (1956): Geologie mladých žilných hornin v Rychlebských horách a skupině Králického Sněžníku. — Spisy přírodrověd. Fak. Masaryk. Univ., 383, 101—124. Brno.
- (1956): Alkalické žilné horniny Orlických hor. — Věst. Ústř. Čst. geol., 40, 1, 51—54. Praha.
- (1966): Alkalické žilné horniny ve skupině Králického Sněžníku, v Rychlebských horách a Bystřických horách. — Věst. Ústř. Čst. geol., 41, 3, 167—176. Praha.

- Oberc J. (1960): Podział geologiczny Sudetów. — Prace Inst. geol., 30, 2, Wydaw. Geol. Warszawa.
- (1972): Budowa geologiczna Polski, IV. Tektonika, 2. Sudety i obszary przyległe. — Wydaw. Geol. Warszawa.
- Ondra P. - Potměšil O. (1966): Zpráva o geologickém mapování centrální části Orlických hor. — Zpr. geol. Výzk. (Ústř. úst. geol.) v Roce 1965, 37—40. Praha.
- Opletal M. (1971): A modified calculation and new graphical representation of the rock analysis. — Acta Univ. Carol., Hejtman Vol., 1—2, 109—122. Praha.
- (1973): Stroňská a novoměstska série v severní části Orlických hor. — MS Geofond. Praha.
- Opletal M. - Doměk K. (1976): Przegląd wyników nowych badań geologicznych w Górnach Orlickich. — Przegl. geol., 7, 414—418. Warszawa.
- (1983): Přehledná geologická mapa Orlických hor 1 : 100 000. — Ústř. úst. geol. Praha.
- Opletal M. et al. (1980): Geologie Orlických hor. Oblastní regionální geologie ČSR. — Ústř. úst. geol. Praha.
- Pauk F. (1953): Poznámky ke geologii Orlických hor a Králického Sněžníku. — Věst. Ústř. úst. geol., 28, 193—212. Praha.
- (1958): Zlíné vyvřeliny Orlických hor. — Sbor. k osmdesátinám akademika F. Slavíka, 373—385. Academia. Praha.
 - (1979): Stavba krystalinika orlicko-kladské klenby (sv. okraj Českého masívu). — Čas. Mineral. Geol., 24, 4, 364—370. Praha.
- Sawiński L. (1958): Wstępne sprawozdanie z badań geologicznych w okolicach Międzylesia (Sudety środkowe). — Kwart. geol., 2, 2, 259—266. Warszawa.
- Skácel J. (1977): Charakter kontaktu gnejsów śnieżnickich krystaliniku strefy Starego Miasta. — Acta Univ. wratislawiensis, 378, Prace geol.-mineral., 6, 207—215. Wrocław.
- Smulikowski K. (1957): Formacje krystaliczne grupy górskiej Śnieżnika Kłodzkiego.
- Przew. 30. zjazdu Pol. Tow. Geol. w Ziemi Kłodzkiej, 37—54. Wrocław.
 - (1960): Evolution of the granite gneisses in the Śnieżnik Mountains. — East Sudetes. — Report XXI. Sess. Norden Int. geol. Congr., 14, 120—130. København.
 - (1967): Eklogity Gór Śnieżnickich w Sudetach. — Geol. sudetica, 3, 1—174. Warszawa.
- Suess F. E. (1912): Die moravischen Fenster und ihre Beziehung zum Grundgebirge des Hohen Gesenkes. — Denkschr. Österr. Akad. Wiss., math.-naturwiss. Kl., 88, 541—631. Wien.
- (1926): Intrusion und Wandertektonik im variszischen Grundgebirge. — Borntraeger. Berlin.
- Suk M. (1979): Petrologie metamorfovaných hornin. — Academia. Praha.
- Svoboda J. - Chaloupský J. et al. (1961): Vysvětlivky k přehledné geologické mapě ČSSR 1 : 200 000 M-33-XVII Náchod. — Ústř. úst. geol. Praha.
- Teissseyre H. (1956): Kaledonidy sudeckie i ich waryscyjska przebudowa. — Przegl. geol., 3, 215—221. Warszawa.
- (1957): Rozwój budowy geologicznej w regionie Łądka i Śnieżnika Kłodzkiego. — Przew. 30. zjazdu Pol. Tow. Geol. w Ziemi Kłodzkiej, 9—12. Wrocław.
 - (1960): The principal structural features of the Sudetic Caledonides. — Report XXI. Sess. Norden Int. geol. Congr., 14, 108—119. København.
 - (1975): Rozwój i sekwencja deformacji tektonicznych w metamorfiku Sudetów. — Przew. 47. zjazdu Pol. Tow. Geol., Wydaw. Geol., 21—33. Warszawa.
- Van Breemen O. - Aftalion M. - Bowes D. R. - Dudek A. - Misař Z. - Povondra P. - Vrána S. (1982): Geochronological studies of the Bohemian Massif, Czechoslovakia, and their significance in the evolution of Central Europe. — Trans. Roy. Soc. Edinburgh, Earth Sci., 73, 89—108. Edinburgh.

- Witschowitz J. (1939): Kurzgefaßte Geologie des Altvatergebirges. — Drechsler, Opava.
- Wojciechowska I. (1976): Następstwo deformacji w metawulkanitach i łupkach ly-szczykowych okolic Romanowa. — Materiały konferencji terenowej, Międzylesie, 53—57. Wrocław.
- Zapletal K. (1932): Geologie a petrografie země Moravskoslezské s ohledem na užitková ložiska. — Vlastivěd. publ. moravskoslezské, 1, Brno.
- (1947): Krystalinikum Českého masívu s ohledem na staré usazeniny a rudy. — Čas. Zem. Mus., část přírodověd., 31, 108—134. Brno.

Vergleich der Kerneinheiten des östl. und westl. Flügels der Orlické hory-Kłodzko -Kuppel

(Zusammenfassung des tschechischen Textes)

Jaroslav Kočandrle - Mojmír Opletal

Vorgelegt am 25. Oktober 1983

Die Kartenaufnahme umfaßte das Gebiet in weiterer Umgebung von Králiky (siehe Karte in Abb. 1), das dem östl. Flügel der Orlické hory-Kłodzko-Kuppel angehört. Die Stronie-Gruppe wird von uns als ein Megasynklinorium interpretiert, das zwischen zwei aus „Orthogneisen“ bestehenden Antiklinoriumeinheiten erhalten ist. Im March-Synklinorium, das höchstwahrscheinlich dem Neratov-Kunštát-Synklinorium im Gebirge Orlické hory entspricht, sind zwei stratigraphische Unterabteilungen (der untere und der obere Teil) der Stronie-Gruppe vertreten. Ähnlich wie im Neratov-Kunštát-Synklinorium ist auch der untere Teil im March-Synklinorium stark reduziert.

Die Einteilung der Stronie-Gruppe von Opletal et al. (1980) in zwei Unterabteilungen erwies sich als auch für die Umgebung von Králiky geltend, nur der Übergang zwischen beiden Teilen ist allmählicher. Der untere Teil besteht aus Muskovit-Biotit-Gneisen (von Muskovitübergewicht bis Gleichgewicht beider Glimmer), lagenweise von Perlgneisaussehen, im oberen Abschnitt aus Biotit-Muskovit-Glimmerschiefern (von Biotitübergewicht bis Gleichgewicht beider Glimmer). An der Grenze zwischen dem unteren und oberen Teil kommen Lagen und Linsen von eingelagerten Gesteinen vor, nämlich von Quarziten, Feldspatquarziten, quarzitischen Gneisen und Glimmerschiefern, Amphiboliten und im Zusammenhang damit stehenden Gesteinen hybriden Ursprungs, Erlanen und Marmoren. In einem Falle wurde ein Amphiboleklogit gefunden, der mit Amphiboliten und Granatamphiboliten, lagenweise von Symplektitstruktur und Reliktpyroxengehalt, in engem Zusammenhang steht. Ein Teil von Amphiboliten dürfte höchstwahrscheinlich amphibolisierte Eklogite darstellen, was den Ansichten von Smulikowski (1967) entspricht. Der obere Teil der Stronie-Gruppe im Gebirge Orlické hory wird als eine vulkanosedimentäre Schichtenfolge charakterisiert. In der Umgebung von Králiky werden metamorphe Vulkanite durch Feldspatquarzite von einem erhöhten Gehalt an Kalifeldspat vertreten. Die Übereinstimmung der chemischen Zusammensetzung dieser Feldspatquarzite mit jener der Porphyroide im Gebirge Orlické hory weist darauf

hin, daß es sich um Gesteine handelt, die an den sauren Vulkanismus gebunden sind. Diese Meinung wird auch durch die Angaben von Wojciechowska (1976) über den Fundort Romanów (Fortsetzung des March-Synklinoriums auf dem Gebiet der VR Polen) unterstützt, wo sich Einlagerungen saurer metamorpher Vulkanite in Glimmerschiefern vorfinden. Die Quarzite gehen gewöhnlich allmählich in Biotit-Muskovit- (von Biotitübergewicht bis Gleichgewicht beider Glimmer), Granat-Biotit-Muskovit- und Albitglimmerschiefer sowie -gneise von deutlichem Glimmerschieferaussehen über; diese Gesteine bilden den Hauptinhalt des oberen Teiles der Stronie-Gruppe.

Unter dem Begriff „Orthogneise“ ist ein Gesteinskomplex zu verstehen, der höchstwahrscheinlich polygenetischen Ursprungs ist. Gneise von körnig-schiefrigem Gefüge bis Lagengneise, mit often Übergängen zu umliegenden suprakrustalen Gesteinen, dürften als Ergebnis der metasomatischen Prozesse bzw. der Metamorphose geeigneter Gesteine (Arkosen bzw. Vulkanite) entstanden sein. Demgegenüber Gneise von körnig-schuppigem und körnigem Gefüge, mit scharfen Abgrenzungen gegen umliegende Gesteine, sind höchstwahrscheinlich echte Orthogneise, was auch durch die Tatsache bezeugt wird, daß sie in höherliegenden stratigraphischen Horizonten (in der Nové Město- und Staré Město-Gruppe) Gänge bilden. Grobkörnige Augengneise bilden Einlagerungen in körnig-schuppigen und körnigen Gneisen und dürften sich aus den letzteren durch eine selektive Mobilisation, ohne Stoffzufluhr entwickelt haben. Alle unterschiedenen Strukturtypen der „Orthogneise“ weisen eine im wesentlichen übereinstimmende chemische und Modalzusammensetzung auf, so daß man nicht annehmen kann, daß die Sněžník-Gneise (Augengneise) das am weitesten fortgeschrittene Glied der metasomatischen Reihe mit höchster Kaliumzufluhr darstellen. Westlich vom March-Synklinorium liegt das Klapáč-Antiklinorium, das aus körnigen bis körnig-schuppigen Gneisen mit Einlagerungen grobkörniger Augen- und körnig-schiefriger Gneise aufgebaut ist. Das östlich gelegene Sušina-Antiklinorium besteht aus überwiegenden körnig-schuppigen Gneisen mit örtlichen, nicht ziemlich zahlreichen Einlagerungen körnig-schiefriger Gneise. Südlich vom Lipka-Querbuch grenzen die beiden erwähnten Antiklinorien im allgemeinen an der streichenden tektonischen Linie von Hedeč aneinander. Relikte suprakrustaler Gesteine in der Umgebung von Králiky und Dolní Hedeč dürften Überreste des stark denudierten March-Synklinoriums darstellen.

Das intensiv gefaltete March-Synklinorium hat von N nach S streichende und nach S einfallende Großfaltenachsen. Parallel zu den Faltenachsenebenen verlaufen Schieferungsf lächen, die im allgemeinen ein mittleres Einfallen nach O aufweisen und im weitesten östlichen Teil nach W überkippt sind. Die ältesten, als V₁ (etwa 180/30) bezeichneten Falten sind durch die Falten V₂ von entgegengesetztem (etwa 0/75) Einfallen umgestaltet. Die jüngsten Knickkleinfalten weisen im allgemeinen das Streichen von 75° und Fallen von etwa 30° auf.

Die metamorphe Entwicklung der Stronie-Gruppe kann als Polyphasenentwicklung charakterisiert werden. Die ältere Metamorphose äußert sich durch den Staurolith als typomorphes Mineral. Auf die Kompliziertheit älterer Etappen der metamorphen und tektonischen Entwicklung weist das Vorkommen des degradierten Amphiboleklogits hin, der eine Zwischenlage in den Granatamphiboliten bildet. Die offensichtlich jüngste, schwache retrograde Metamorphose hängt wahrscheinlich mit der Entstehung der Knickkleinfalten zusammen und äußert sich stellenweise durch eine Chloritisierung des Biotits, Granats und Epidots.

Das älteste, von NO nach SW streichende Bruchsystem wird durch die streichende tektonische Linie von Hedeč repräsentiert. Hierher stellt Paauk (1953, 1979) seine Überschiebungsfläche zwischen der Orlické hory- und Klapáč-Decke. Diese bedeutsame tektonische Linie wurde durch einen Schürfgraben untersucht; es wurde ermittelt, daß sie von deutlichem Rupturcharakter ist; senkrechte bis sehr steile tektonische Zonen in den „Orthogneisen“ weisen eine Gesamtstärke von 41 m auf. Der Meinung, daß diese Linie einen Überschiebungsbruch darstelle, kann nicht zugestimmt werden. Falls in dem Untersuchungsgebiet ein Deckenbau vorliegt, sind Überschiebungsbrüche anderswo zu suchen.

Přeložil A. Kříž

Erläuterungen zu den Tabellen

Tabelle 1. Modalzusammensetzung der Gneise und Glimmerschiefer der Stronie-Gruppe.

Tabelle 2. Modalzusammensetzung der Quarzite, Feldspatquarzite und Quarzitglimmerschiefer der Stronie-Gruppe.

Tabelle 3. Modalzusammensetzung der Amphibolite und anderer, an die Amphibolite gebundener Gesteine der Stronie-Gruppe.

Tabelle 4. Modalzusammensetzung der Marmore und Erlane der Stronie-Gruppe.

Tabelle 5. Modalzusammensetzung der „Orthogneise“ vom Kern der Orlické hory-Kłodzko-Kuppel.

Tabelle 6. Chemische Zusammensetzung der Gneise und Glimmerschiefer der Stronie-Gruppe.

Tabelle 7. Chemische Zusammensetzung der Quarzite, Feldspatquarzite und Quarzitglimmerschiefer der Stronie-Gruppe.

Tabelle 8. Chemische Zusammensetzung der Amphibolite und anderer, an die Amphibolite gebundener Gesteine der Stronie-Gruppe.

Tabelle 9. Chemische Zusammensetzung der Marmore und Erlane der Stronie-Gruppe.

Tabelle 10. Chemische Zusammensetzung der „Orthogneise“ vom Kern der Orlické hory-Kłodzko-Kuppel.

Erläuterungen zu den Abbildungen

1. Geologische Übersichtskarte breiterer Umgebung von Králiky. Nach geologischen Karten im Maßstab 1 : 25 000 von J. Kočandrle (1983) umgearbeitet.
1 — Gehängelehme, Schutt und Anspülungen; 1a — alluviale Auenablagerungen; 2 — Neogenablagerungen; 3 — Kreideablagerungen, stratigraphisch un gegliedert; 4—6 — „Orthogneise“ im Kern der Orlické hory-Kłodzko-Kuppel; 4 — Augengneise, 5 — körnige bis körnig-schuppige Gneise, 6 — körnig-schiefrige Gneise bis Lagengneise; 7—8 — Staré Město-Gruppe; 7 — Glimmerschiefer, an der Grenze eine Serpentinitlinse (s), 8 — Amphibolite; 9—13 — Stronie-Gruppe; 9 — Glimmer- bis Albitalbitglimmerschiefer mit Quarzit-, Feldspatquarzit-, Amphibolit- und Erlaneinlagerungen, die im gegebenen Maßstab der Karte nicht darzustellen sind (alle erwähnten Gesteine gehören dem oberen Teil der Stronie-Gruppe an), 10 — Erlane und Kalksteine, 11 — Amphibolite, 12 — Quarzite bis Feldspatquarzite, 13 — Gneise bis Glimmerschiefer des unteren Teils der Stronie-Gruppe.
2. Kärtchen mit Darstellung der Probenahmepunkte für die planimetrischen und Silikatanalysen der Gesteine.
Stronie-Gruppe: a — Gesteine des unteren Teils; b — Gesteine des oberen Teils; c — Quarzite und ihre Übergänge zu umliegenden Gesteinen; d — Amphibolite und daran gebundene Gesteine; e — Marmore und Erlane; f — „Orthogneise“ im Kern der Orlické hory-Kłodzko-Kuppel. Die angeführten Nummern entsprechen den betreffenden Proben von den in Tabellen aufgestellten Gesteinsgruppen.
3. Chemische Zusammensetzung der Gneise und Glimmerschiefer der Stronie-Gruppe, im Diagramm von M. Opletal (1971) dargestellt.
Voller Kreis — Gneise und Glimmerschiefer vom unteren Teil der Stronie-Gruppe; *leerer Kreis* — Glimmerschiefer, Albitalbitglimmerschiefer und -gneise vom oberen Teil.
4. Chemische Zusammensetzung der Quarzite und Quarzitgesteine der Stronie-Gruppe, im Diagramm von M. Opletal (1971) dargestellt.
5. Gesamtdiagramm der chemischen Zusammensetzung der metasedimentären Gesteine der Stronie-Gruppe und der „Orthogneise“ vom Kern der Orlické hory-Kłodzko-Kuppel, durch das Verhältnis von K : Na : Ca und von Al : Fe : Mg dargestellt; Umrechnung von M. Opletal (1971).
Erläuterungen siehe in Abb. 2. Die dargestellten Trendkurven sind für das Gebiet des Gebirges Orlické hory typisch. *Volle Linie* — unterer Teil der Stronie-Gruppe; *strichpunktierter Linie* — oberer Teil der Stronie-Gruppe; *gestrichelte Linie* — „Orthogneise“.
6. Chemische Zusammensetzung der Quarzite, Quarzitgesteine und Porphyroide der Stronie-Gruppe im Vergleich zu ähnlichen Gesteinen vom Gebirge Hrubý Jeseník, Diagramm nach F. Fediuk et al. (1974).
K — Feld der Keratophyre, P — Feld der problematischen Gesteine, Q — Feld der Quarzite vom Gebirge Hrubý Jeseník. Gesteine der Orlické hory-Kłodzko-Kuppel: a — Quarzite, Feldspatquarzite und Quarzitgesteine aus der Umgebung von Králiky; b — Quarzite und Quarzitglimmerschiefer vom Gebirge Orlické hory; c — Porphyroide der Stronie-Gruppe vom Gebirge Orlické hory.
7. Chemische Zusammensetzung aller unterschiedenen Gesteinstypen, im ACF+A'KF-Diagramm nach P. Eskola (1915) dargestellt.
Stronie-Gruppe: a — metasedimentäre Gesteine des unteren Teils; b — metasedimentäre Gesteine des oberen Teils; c — Quarzite und ihre Übergänge zu umliegenden Gesteinen; d — Amphibolite und daran gebundene Gesteine; e — Marmore und Erlane; f — „Orthogneise“ vom Kern der Orlické hory-Kłodzko-Kuppel.
8. Chemische Zusammensetzung der „Orthogneise“ vom Kern der Orlické hory-Kłodzko-Kuppel, im Diagramm von M. Opletal (1971) dargestellt.

9. Konturdiagramm der in weiterer Umgebung von Králiky gemessenen B-Achsen der Kleinfalten. Projektion auf unterer Halbkugel, 33 Messungen.
10. Konturdiagramm der in weiterer Umgebung von Králiky gemessenen Gefällwechsellinien der Schieferungsflächen. Projektion auf unterer Halbkugel, 347 Messungen.

**Сравнение ядерных единиц вост. и зап. крыльев
Орлицко-Кладского свода**

В более широких окрестностях г. Кралики встречаются три тектонические единицы кристаллического комплекса восточного крыла Орлицко-Кладского свода: антиклиниорий Клапача, синклиниорий Моравы и антиклиниорий Сушины. Антиклиниории сложены преимущественно полигенными породами ортогнейсового до мигматитового видов. Три различные по текстуре группы пород, именно зернистые до зернисто-чешуйчатых, зернисто-полосчатые до полосчатых и очковые гнейсы, отличаются друг от друга своим геологическим положением, а не петрохимически. В синклиниории Моравы, севернее г. Кралики, представлена преимущественно верхняя, вулканогенно-осадочная часть строньской серии, тогда как однообразная нижняя часть в нем сильно редуцирована. Переход между обеими упомянутыми частями здесь, в отличие от области Орлицких гор, значительно более постепенен. Тектоническое развитие области, стратиграфическое содержание и петрохимическая картина обоих крыльев Орлицко-Кладского свода в общем сходны.

Přełóżil A. Kříž